グロースベッター

第3巻 第4号

-			E	」 次 ———	
成層圏の大	:気循 [:]	環(I)		
都	四 田	菊	郎		1
南北両半球	の気象	象(Ⅱ	()		
	- 南半	球の	熱帯	低気圧について -	
田	辺	=	郎		49
季節予報の	利用	と発き	ŧ		
鲤	1 沼	寬			5 6

1965年 3月

L. F. グループ

(解説) 成層圏の大気循環(I)

東京大学理学部地球物理学教室 都 田 菊 郎

(T)の内容

- 1. 序 説
 - 1.1 まえがき 1.2 成層圏の存在
- 2. 成層圏の研究
 - 2.1 研究意義 2.2 研究の歴史
- 3. オゾン
 - 3.1 オゾンの生成 8.2 地球大気のオゾン 3.3 オゾンの分布
- 4. 放射平衡
 - 4.1 放射平衡の温度 4.2 惑星大気の温度

1. 序 説

1.1 まえがき

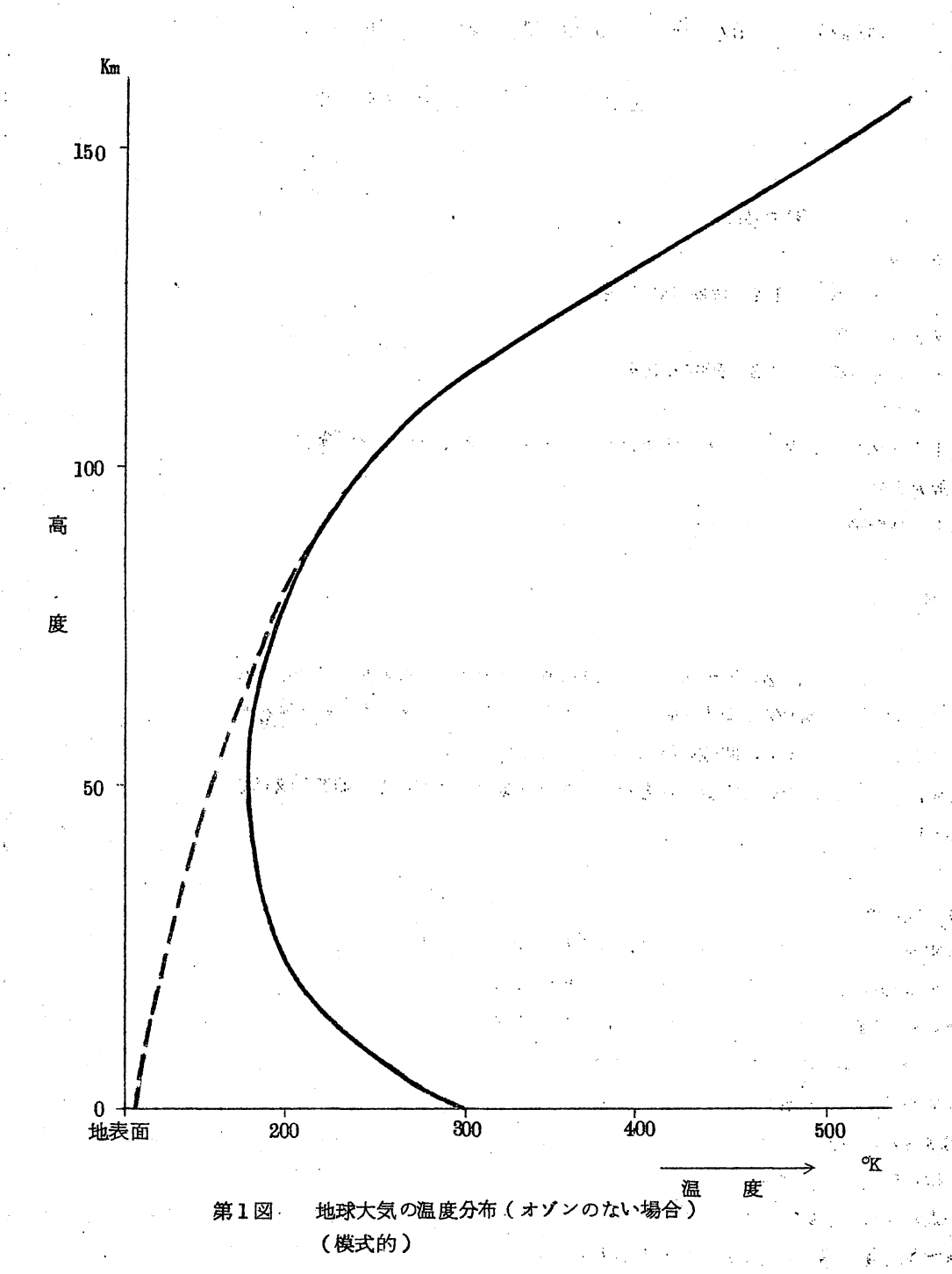
以下は1964年,名古屋大学と東京大学の談話会で話したことをまとめ、手を加えたものである。内容は成層圏大気の全体を概観することを目標とした。そのため、筆者の専門外のことも述べることになる。もし、間違いがあれば、ご教示願いたい。

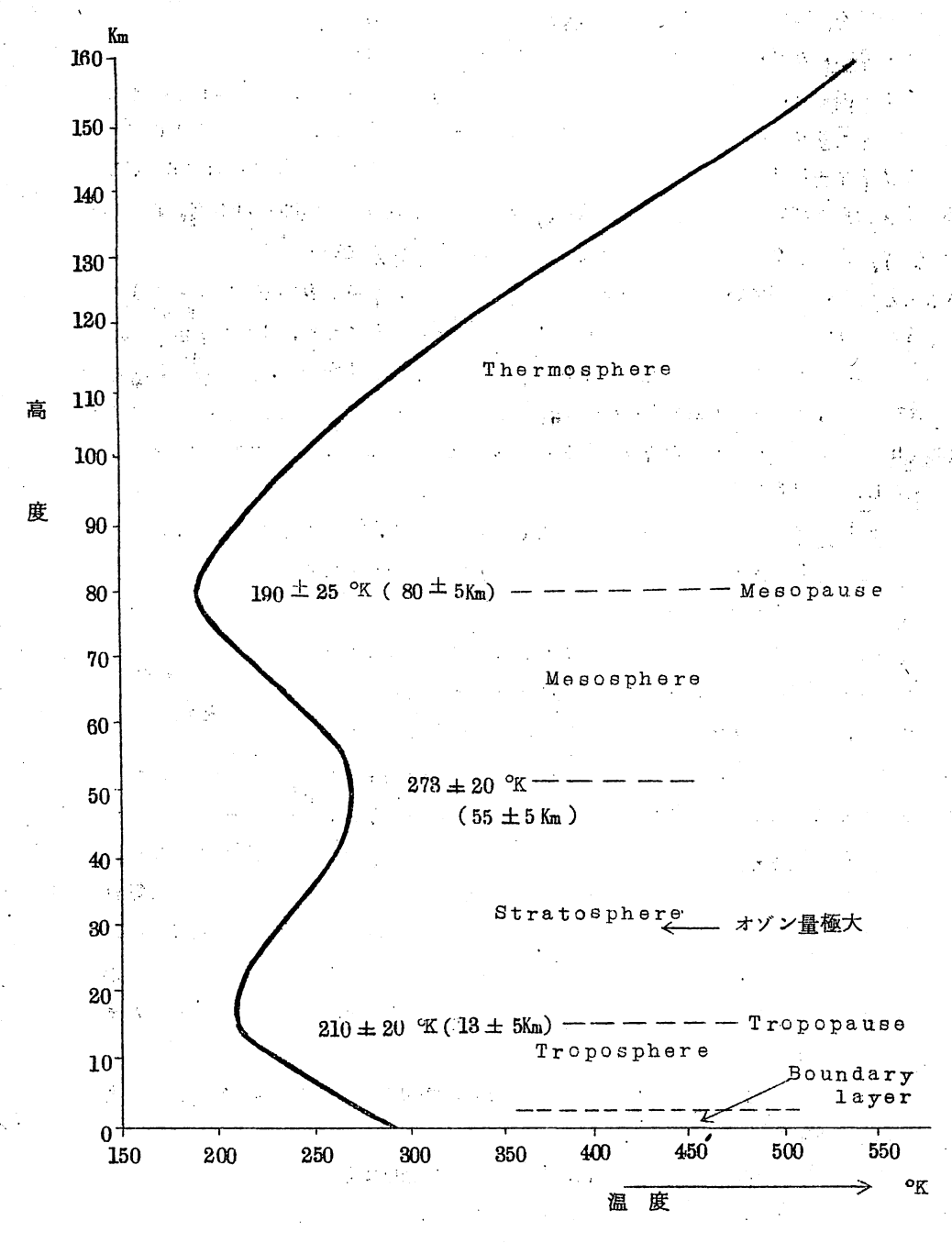
なお、引用文献については総合報告をできるだけ載せるようにし、研究論文は必ずしも網羅していない。

1.2 成層圏の存在

太陽をとりまくCornao外縁では、温度が 10^6 °Kで、太陽から離れるにしたがつて低くなり、地球の附近で 10^5 °Kになるという(Chapman 1960)。ところで、視点を地球に移すと、その周囲は密度の高い大気が掩い、その中では地球の中心に向つて、温度は急激に低下する。つまり、大陽系の空間は高温のPlasmaが充満し、その中に惑星が浮かび、惑星の周りだけがいちじるしく低温になつている図が考えられる。

第1図に、温度が大気の上から下に向つて、低くなつている様子を模式的(点線)に示した。 これは地球の固体の部分も、すべてガスで構成されているとした時のことで、実際には、地球表面が太陽からの放射エネルギーを吸収し、それが加熱され、大気の温度は上層と地表で高く、70~80~10位に極小点のある曲線(実線)となる。





第2図 大気の成層

ところが、話はそれだけではない。地球大気の中には、27㎞を中心に10~60㎞の高度に Ozoneが存在する。このガスは太陽からの紫外線を吸収し、その層の温度を引き上げる。その 結果、50~60㎞あたりに温度の極大があらわれることになる(第2図)。

観測によると(例えば、Handbook of geophysics 1960)、 55 ± 5 kmの極大点は温度が 273 ± 20 ° K 、 80 ± 5 kmと 18 ± 5 kmの極小点では、それぞれ 190 ± 25 % はなり、1000 kmの高度では大体 3000 ± 1000 ° K ぐらいになる。よく知られているように、20 世紀の初め頃から 11 km以下の空間を対流圏(Troposphere)、それより上を成層圏(Stratosphere)と呼んでいる。 *1)

その後60年間に、各層にいろいろの名前がつけられてきたが、名称が専門家の間でまちまちであつた(Gerson 1952, 北岡1956参照)。この混乱を防ぐため、1961年WMOの高層委員会では、一応次のように決定した(有住1964参照)。すなわち、11~50㎞をStratosphere、50~80㎞をMesosphere(中間圏)、それより上をThermosphere(熱圏とし、またそれぞれ圏の境を、下から上へTropopause、Stratopause、Mesopauseとする。*2)

TropopauseはイギリスのShaw の命名で(1912年^{3,3)} まことに云い得て妙であるが、日本ではこれを"圏界面"と呼んでいる。二つ以上の圏が問題となる現在、これは紛わしい。本文では"対流止面"と呼ぶことにする。

言葉のことが出たついでにいうと、中間圏はこれまでもいろいろな定義が下されてきている。 Gerson (1952)によると、1950年頃は400kmの高度で温度が極大で、それより上へ低くなつており、大気圏は大体1000kmぐらいが、その限界であろうと考えていた。そして 1000km より上を外気圏(Exosphere 54)、400~1000kmの空間を外気と大気の境として、中間圏と呼んでいたという。また、Chapman (1950)は30~80kmを中間圏と呼ぶことを提唱し、Flohn と Penndorf (1950)は中間圏のない成層を唱えた。

ところで今回の命名では、中間圏は成層圏と熱圏の中間ということになった。つまり、大気組成の均一な空間(Homosphere)と不均一な空間(Heterosphere)の転移層である。 実は、成層圏と中間圏との境、つまりStratopause にどのような物理的意味があるか知らない。もし積極的に意味がなければ、いつそのこと成層圏と中間圏を合せてしまってはどう

^{*1)} Teisserenc de Bort(1902)は現在の成層圏を等温圏(Isothermal layer)と呼んだ。

^{*2)} 日本語はまだ統一されていない。殊に、"熱圏"は暫定的なもの。

^{*3)} tropo = turn, pause = cessation,

^{*4)} Spirzer (1949)の命名。

^{*5)} Chapman(1950)は mesopeak と呼んだ。

だろう。4章で述べるが、Chamberlain (1962)は惑星大気について、対流圏・中間圏・熱圏に分けることを提案している。

このような事情はこれから論を進めていく間に、おいおい明らかになつてくると思う。しかし、以下の議論ではWMOの決定に従つて呼ぶことにする。話は少し変るが、30kmを境にして、上部および下部成層圏と云うことがある。これは11~30kmは等温で、30~55kmは温度が増率になつているから、このように分けたというのは俗論である。本当のところは、気球ゾンデの最高到達高度が30kmぐらいだから、便宜的に分けたのである。しかし、この高度が物理的に全く意味がないわけでもない。大気振動の振巾が零になり、位相が逆転するのは30kmである。また30~60kmで、大気の循環が赤道一極型から極一極型に転位する高度があるようである。

2. 成層圏の研究

2.1 研究意義

第2図に示したように、大気の圧力は地上で大体1000mb、対流止面で150mb、30 kmで10mb、50kmで1mb、60kmで0.1mb、80kmで0.01mbである。つまり対流圏より上には、大気の総重量の15%、中間圏の上には0.001%があるに過ぎない。だからといつて、成層圏は無視してよいと考えるのは軽卒である。重さだけがすべてではないからだ。

なるほど対流圏に関しても,現在未知のことが余りにも多い。これも大いに研究されるべきである。しかし,それと別に成層圏より上を研究する人があつてもよい。古今不変の原理として,研究は常に広い視野に立つて進めるべきで,全く予期しなかつたことが,相互に関連をもつてくることは,歴史の示すところだ。

幸か不幸か,現在までに成層圏が対流圏の変動に対して,重大な影響を及ぼしているという事実は,それほど知られていない。*6) それでも成層圏は大いに研究されるべきである。敢えて実用的利益を列挙せよとなると,こんなふうになるであろうか。

例えば、太陽活動の大気に及ぼす影響を知るには、それが直接的に作用すると思われる上層大気を調べるのが得策である。電離層の変動を知るにも、その下層の成層圏を理解する必要がある。また、数値予報でも知られているように、ブラネタリー極長波の動きは、対流止面の変動と関連し、台風進路予報の鍵でもある小笠原高気圧の変動もその一例である。アリユーシャン高気圧は成層医際く伸びている。あるいは、高層に存在する氷晶核は、降雨量を知る上に重要であるかも知れない。 高緯度地方の25kmの高さに観測される真珠母雲、80km以上の夜光雲も氷晶であるという。この辺りにも、大気の組成、ひいては大気進化の謎の一部が秘められている可能性がないとは云えない。更に成層圏は対流圏の複雑な様相を単純化して反映しており、したがつて成

^{*6)} 実は一つもない。

^{*7)} 磷野(1963)参照。

層圏を解明することにより、それが対流圏の変動を理解する上の有力な手がかりとなるのである。

2.2 研究の歴史

前章で大気の温度を上から下へ見てきた。それは大気を大局的に眺めるとき、そのようにした 方が理解しやすいと考えたからである。無論歴史的には、人間の探索は下から上へのびてきたわ けで、しかも現在の認識に到達するには、幾多の変遷と曲折を経てきている。

筆者は考証を得手とする年令にはまだ達していないが、話の都合上、成層圏および中間圏研究の里程標ともいうべきものを辿つてみよう。**8) (もし間違いがあれば、ご教示下さい)

何処を出発点としてよいかわからないが、一応1788年フランスのCharles が、人類史上初めて自由気球を飛しようさせたことから始めよう(気圧計などを積む)。人間の上空への探測は、これを契機として盛んとなり、その後多くの試みがなされた。その中で成層圏に関係あるものとしては、1862年イギリスのGlaisher と Coxwell を挙げるのがよかろう。彼等は探測気球によつて、11kmの高度に達した。しかしこの時成層圏は知られないまま、しかも不思議なことに、これを覚として人々の気球熱は失われたという(Mieghem 1957参照)。1879年フランスのCornuと1881年イギリスのHartleyは大気中に存在するオゾンと太陽スペクトルの紫外部が欠ける事実について研究。1883年、ジャバとスマトラの中間にあるKrakatoa 島火山が爆発、その研究報告をイギリスの王室学会は委員会を設けて編集(Symons 1888)、その中にはKrakatoa 東風の発見、爆発時の空気波が3142m/secで伝播したこと等が含まれている。1881年、ドイツのJesseは82kmの高層に繊維状の層雲を観測。これを夜光雲*9)と命名(1885年)。以上が19世紀の経過であり、現代からみると、"成層圏研究の夜明け"といつてよかろう。

1889年になると、フランスのTeisserenc de Bort は、気球観測により11kmから上へ大気が等温になつている事実を指摘した。これはまことに重大である。それまでに知られている下層の温度曲線を上へ外挿し、地上で1013mbの圧力を与える大気を考えると、大体30kmが上限となる。ところが、上空へ温度が変らないとなると、大気の上限は一挙に50kmまで上ることになる。しかし、問題は観測の精度である。Teisserenc de Bort は紙気球を用いたが、当時測定にかけてベテランのドイツのAssmann はゴム気球によつて、これを追試した。その結果、Teisserenc de Bort の観測が正しいことが確認された。これが成層圏の発見で、時は1902年である。これに刺戟され、欧州の各国は、争つて高層観測所を設立したという。一方、1901年イタリヤのMarconi は米大陸と欧州間の無線通信に成功。1902年、イギリスのHeavisideとアメリカのKennelly は互いに独立に、それに対

^{*8)} 関連する文献を末尾に示した。

^{*9)} Die leuchtenden Nachtwolken(独). Noctilucent cloud(英)

する説明を与えた。つまり80kmの高度に海水の20倍の電導度をもつ電離層の存在を予想した。) 1907年、イギリスのDinesは気球に塔載する軽量測器を考案。1908年、ドイツの yon Berson はアフリカのピクトリヤ湖での観測において、赤道附近の成層圏に西風を発見。 これがBerson 西風。1908~9年,アメリカのHumphreysとイギリスのGoldは、成層圏 の成因を放射の立場から論じた。この時,オゾンの重要性が既に指摘されている。1918年, ドイツの Emd en は放射平衡理論により、温度の鉛直分布を計算。 この頃まで,大気中のオゾン は化学的方法によって測定されていたが(例えば Pring 1914), 1920年フランスの Fabry と Buisson はスペクトルによりオゾンを量的に測定し、その量は標準状態で3㎜ であることを結論。1923年、イギリスの Lindemann と Dobson は流星に関する理 論を立て,流星の観測から、60kmの高度で温度が300°k であることを指摘した。上空では 等温ところか、温度が高くなつているわけで、この発見により成層圏は測り知れないという感じ を与えた。この論文で、彼等は高温はオゾンが原因であることを推定している。そう云えば、第]次世界大戦の頃より、音の異常伝播が知られている。例えば、1902年 Victoria 女王 の葬儀の際における弔砲の音の伝わり方,フランダースの戦場で繋ち合う砲声が,フランス領で 聴えず,かえつてイギリス本土で聴かれたという事実。1923年,イギリスの Whipple は この現象は Lindemann と Dobson のいう 60kmの高温層が原因であることを指摘。 19 24年,イギリスのAppleton と Barnettは,反射電波により電離層の存在を実証した。 1925年頃, Dobson は Fabry とBuisson の原理を応用して,オゾンの鉛直積算量 を測定する分光計を考案。1926年,Dobson と Harrison はその分光計を用い,オ ソンを連続観測し,オソン量が春に最大,秋に最小になることを見出す。この時代が,"成層圏 の発見とその探測手段の開発"の時期である。

1927年になると、フランスの Idrac および Bureau、ドイツの Duckert、ソ連の Moltchanoff はラシオゾンデを考案。これから対流圏の観測網が世界的に広がつて行くことになる。1928年、イギリスのGowanは、オゾンの日射の吸収から60kmの温度を計算し、280 %を得た。1929年、スイスのGota は、オゾンの鉛直分布を測定する逆転法 *11) (Umkehr effect)を考案し、大体高度40kmにオゾンの最大値があることを発見。
1930年、イギリスのChapman は、光化学反応理論によりオゾンの生成を説明。もつとも、1906年ドイツのRegener は、実験室で紫外線照射によりオゾンの生成に成功している。また、この理論は後にWulf と Deming (1936)により発展された。1931年、イギリスのWhipple とドイツのDuckert は、音の伝播により50~60kmが温度の極大点に

^{*10)} しかし電離層の存在は、既に1882年Stewart により、磁針の方向が毎日変る ことからも予想されていたという。1902年以後、Kennelly-Heaviside 層と呼んた。

^{*11)} これは後に25~30㎞と訂正される。

当り、それより上に再び減率になることを結論。ノールエイのVegardは、1921年以来、 極光の中に観測される窒素のスペクトルから90~120㎞の温度を推定することを試みていた が、1932年頃、大体信頼できる値を得た。その温度は242°k。 1933年、アメリカの Humphreysは夜光雲を氷晶と仮定し、80kmの温度を160k と推走。2)これらの研究に より、高緯度で少くとも60㎞より上に温度が下ることについて、傍証が得られたわけである。 ところが、1935年Appleton は電離層の F層への反射電波の観測から、200~400 Kmの高度では400°k より遙かに高い温度、例えば1200°k ぐらいであることを推測した。 つまり、大気はかなり上空で、上へいくと再び温度が高くなつているのである。1935年、 Whipple は音の伝播からの推定と20kmにおける二点間の気圧差により、地衡風の原理を用 ·13) 言。 イギリスのTaylor は1929年 いて、成層層下部において、冬は西風、夏は東風を推定。 以来,Krakatoa 爆発の時あるいは1908年のシベリヤ大隕石の落下の際に観測された空 気波の伝播速度をいかにして説明するかという問題を提起していた。1936年,Taylor 自 身がこれに答え、その説明には60kmの高温層を考慮する必要のあることを指摘。これは Pekeris (1937年)によつて詳しく議論された。1943年, Whipple は流星観測 の綜合結果を発表し、120kmまでの温度分布を示した。これまでが"オゾンの研究と中間圏・ 電離層に関する研究の発展"の時期であつた。その頃から、世界は第二次大戦に突入。

^{* 12)} 最近,Hemenway et ai (1964) はロケットにより夜光雲と考えられる大気を捕えた。その結果,夜光雲は宇宙起源の物質で,その中10%が氷に掩われていることを見出した。 これまでは火山灰ではないかとも考えられていた。

^{*13)} Whipple はこれを季節風(monsoon)と呼んた。

^{*14)} Vergetungswaffe 報復兵器第2号。

^{*15)}例之ば,Best, Havens and LaGow(1947), Hulburt(1947)

^{*16)} Baum et al(1946)

^{*17)} 例えば、Scrase(1951), Brasefield(1954)参照。

次は現代で、歴史的に概観するには余りにも近すぎるが、一応"気象衛星の開発と成層圏変動の研究"の時期といつてよかろう。すなわち、1951年Kellogg と Schilling は 120 kmまでの温度、風の観測資料を編集、その緯度分布を示し、同時に上層の大気の循環は、 夏半球から冬半球へ向う極一極型であることを推定。1952年、ドイツのScherhag は、 冬の成層圏における突然昇温を発見。その後、成層圏天気図は25kmあるいは30km高度のものも描かれるようになり、この方面の研究は1960年頃から、飛躍的に盛んになつた。1956年、アメリカのPhillips は対流圏の大規極循環に関して、電子計算機を用い理論的に研究。それまで断片的に理解されていた大気循環の機構が改めて検討された。1957年、ソ連は人類 史上最初の人工衛星Sputnik I号の打ち上げに成功。 その結果、500kmまでの大気の密度が測定され、特に250kmにおいて、従来考えられていた密度の10倍の空気が存在することが判明。1960年、アメリカ航空宇宙局 は、気象衛星TIROS-I号を軌道にのせる。 衛星に塔載した2台のテレビ・カメラは雲の写真を地上へ送信。同じく1960年、イギリスの Ebdonは、赤道附近の成層圏において、風・温度に2年振動周期を発見。この現象はアメリカのReed 等(1961)によつても見出された。

1,2章の参考文献

綜合報告

有住直介, 1964:高層気象の名前, 天気 11 P. 232 Chapman, S, 1950: Upper atmospheric nomenclature.

Bull Amer meteor Soc 31 288-290 Chapman, S, 1960: The thermosphere — the earth's outermost atmosphere.

Physics of the upper atmosphere (J. A. Ratcliffe, ed.)

^{*18)} Brasefield (1954)参照。

^{*19)} 近地点 2 2 5 km, 遠地点 9 5 0 km, 周期 9 6.2 分。

^{*20)} NASA-National Aeronautical and Space Administration.

^{*21)} Fritz and Wexler(1960)を参照。近地点690km, 遠地点752km, 周期99.2分。

Academ, Prers, New York and London, 1-16

Flohn, H. and R Penndorf, 1950: The stratification of the atmosphere (I), (II).

Bull Amer. meteor. Soc. 31 71-78, 126-130

Gerson, N. C., 1952:Unsolved problems in physics of the high atmosphere.

Advan. Geophys. 1 155-242

Goody, R. M., 1954: the physics of the stratosphere.

Cambridge Univ. Press, Cambridge, 187P.

掘内剛二, 1958:中間層大気論(1)~(12)

测候時報 25 35-39, 79-87, 128-135, 176-181, 219-225, 265-271, 297-304, 385-893, 431-485, 517-522, 562-567, 625-633.

掘内剛二, 1959:中間層大気論(13), (14).

測候時報 26 15-22, 66-72

礒野謙治, 1963:大気物理学と水ーとくに高層大気を中心に.

科学 岩波書店 33 232-237

北岡龍海, 1956:高層気象学, 地人書館, 126P.

Mieghem, J. van, 1957: The conquest of the third dimension; Presidential address at the so cond session of the comission for aerology, Paris, June-July, 1957.

WMO Bull. 7 no. 1, 31-38

Mieghem, J. van, 1958. The conquest of the third dimension; Presidential address at the so cond session of the comission for aerology, Paris, June-July, 1957

WMO Bull. 7 na 2, 52-58

岡田武松, 1956:世界気象学年表, 地人書館, 229 P.

Reiter, E. R., 1961: Meteorologie und Strahlströme. Springer, Wien, 473P.

Spitzer, L Jr., 1948: The terrestrial atmosphere above 300 kM

The atmospheres of the earth and planets. (G. P. Kuiper, ed.) Univ. of Chicago Press, Chicago, 213-249
正野重方, 1958: 気象学総論, 地人書館, 356 P.

US Air Force, geophysical Research Directorate, 1960: Handbook of geophysics, Macmillan Co.

Warnecke, G., 1962: "Introduction" to the international symposium on stratospheric and mesospheric Circulation

August 1962, Berlin.

Meteor. Abhandl. Inst. f. Meteor. u. Geophys. a. Freien Univ. Berlin 36 3-4

Whipple, F. L., 1943: Meteors and the earth's upper atmosphere.

Rev. modern Phys. 15 246-264

Whipple, F. L., 1952: Exploration of the upper atmosphere by meteorite techniques.

Advan. Geophys 1 119-154

研究論文

Appleton, E. V., 1937: The Bakerian lecture—Regularities and iregularities in the ionosphere — 1.

Proc. Roy Soc. London A 162 451-479

Assmann, R, 1902: Uber die Existenz eines wärmeren Luftstromes in der Höhe von 10-15Km

Sitzf. d. Rönigl. preuß. Akad. d. Wiss. Z. Berlin no. 14 495-504

Baum, W. A., F. S. Johnson, J. J. Oberly, C. C. Rockwood, C. V. Strain and R. Tousey, 1946: Solar ultraviolet spectrum to 88 kilometers.

Phys. Rev. 70 781-782

Berson, A,, 1910: Bericht über die aerologische Expediton des königl. Aeronautischen Observatoriums nach Ostafrika im Jahre 1910.

Ergefen d. Arh d. Preu β . Aeronaut. Observat. Lindenberg, Braunschweig.

Best, N. R., R. Havens and H. LaGow, 1947 : Pressure and temperature of the atmosphere to 120 $K_{I\!R}$

Phys. Rev. 71 915-916

Brasefield, C. J., 1954: Winds at altitudes up to 80 kilometers.

J. Geophys. Res. 59 233-237

Chapman, S., 1930: On ozone and atomic oxygen in the upper atmosphere.

Phil. Mag 10 369-383

Charney, J. G., 1947: The dynamics of long waves in a baroclinic westerly current.

J. Meteor. 4 185-162

Committee of the Royal Society, 1888: The eruption of Krakatoa and subsequent phenomena, Report of the Krakatoa, (G. J. Symons, ed) London

Crary, A. P., 1950: Stratosphere winds and temperatures from acoustical propagation studies.

J. Meteor. 7 233-242

Dofson, G. M. B. and D. N. Harrison, 1926: Measurements of the amount of ozone in the earth's atmosphere and its relation to other geophysical conditions.

Proc. Roy. Soc. London A 110 660-693

Eady, E. T., 1949: Long waves and cyclone waves. Tellus $1 \quad 33-52$

Ebdon, R A., 1960: Notes on the wind flow at 50mb in tropical and sub-tropical regions in January 1957 and January 1958.

Quart. J. Roy. meteor. Soc. 86 540-542

Enden, R., 1913: "Der Strahlunsgleichgewicht und atmosphärische Strahlung, Ein Beitrag zur Theorie der oferen Inversion.

Sitzh d Bayer. Akad d Wiss. Math-phys. Klasse, Munchen 55-142

Fabry, C. and H. Buisson, 1921: Study of the ultra-violet end of the spectrum.

Astrophys. J. 54 297

Fritz, S. and H. Wexler, 1960 : Cloud pictures from satellite TIROS I.

Mon. Wea. Rev. 88 79-87

Gold, E., 1909: The isothermal layer of the atmosphere and atmospheric radiation.

Proc. Roy. Soc. London A 82 43-70

Gowan, E. H., 1928: The effect of ozone on the temperature of the upper atmosphere.

Proc. Roy. Soc. London A 120 655-669

Hartley, W. N., 1881 : On the absorption of solar rays by atmospheric ozone.

J. chem. Soc. 39 111-128

Hemenway, C. I., E. F. Fullam, R. A. Skrivanek, R. K. Soberman and G. Witt, 1964: Electron microscope studies of noctilucent cloud particles.

Tellus 16 96-102

Hulburt, E. O., 1947 : The upper atmosphere of the earth.

J. opt. Soc. Amer. 37 405-415

Humphreys, W. J., 1909: Vertical temperature—gradients of the atmosphere, especially in the region of the upper inversion.

Astrophys. J. 29 14-32

Humphreys, W. J., 1933: Nacreous and noctilucent clouds. Mon. Wea. Rev. $61\ 228-229$

Jesse, O., 1896: Die Hohe der Leuchtenden Nachtwolker.
Astronom Nachr. 140 161-167

Kellogg, W. W. and G. F. Schilling, 1951: A proposed model of the circulation in the upper atmosphere.

J. Meteor. 8 222-230

Lindemann, F. A. and G. M. B. Dobson, 1923: A theory of meteors, and the density and temperature of the outer atmosphere to which it leads.

Proc. Roy. Soc. London A 102 411-437

Rekeris, C. L., 1937 : Atmospheric oscillation.

Proc. Roy. Soc. London A 158 650-671

Phillips, N. A., 1956: The general circulation of the atmosphere: a numerical experiment.

Quart. J. Roy. meteor. Soc. 82 123-164

Pring, J. N., 1914: The occurrence of ozone in the upper

· atmosphere.

Proc. Roy. Soc. London A 90 204-219

Reed, R. J., W. J. Campbell, I. A. Rasmussen and D. G. Rogers,

1961: Evidence of a downward — propagating, annual wind reversal in the equatorial stratosphere

J. geophys. Res. 66 813-818

Regener, E., 1906: Uber die chemiche Wirkung Rurzwelliger Strahlung auf gasfömige Kovper.

Ann. Phys. 20 1033-1046

Scherhag, R, 1952: Die explosionartigen Stratosphärenwärmungen des Spätwinters 1951/1952

Bericht. Deut. Wetterd. 6 51-63

Scrase, F. J, 1951: Radiosonde and radar wind measurements in the stratosphere over the British Isles.

Quart. J. Roy. meteor Soc. 77 483-492

Taylor, G. I., 1929: Waves and tides in atmosphere.

Proc. Roy. Soc. London A 126 169-183

Taylor, G. I., 1936 : The oscillation of the atmosphere.

Proc. Roy. Soc. London A 156 318-326

Teisserenc de Bort, L., 1902 : Variations de la température de l'ain libre dans la zone comprise entre 8Km et 13Km d'altitude.

Compt. rend. 134 987-989

University of Chicago, Dept. of Meteor, 1947: On the general circulation of the atmosphere in middle latitudes.

Bull Amer. metecr. Soc. 28 255-280

Vegard, L., 1932: The temperature of the auroral region determined by the rotational series of the negative nitrogen—bands.

Terr. Magn. atmos. Elect. 37 389-398
Whipple, F. L., 1923: The high temperature of the upper atmosphere as an explanation of zones of audibility.

Nature 111 P. 187

Whipple, F. L., 1935: The propagation of sound to great distances.

Quart. J. Roy. meteor. Soc. 61 285-308

Wulf, O.R. and L.S. Deming, 1936: The theoretical calculation of the distribution of photochemicallyformed ozone in the atmosphere

Terr. Magn. atmos. Elect. 41 299-310

3. オゾン

3.1 オゾンの生成

地球大気において、オゾンの存在は成層圏形成に大へん重要な役割を果している。もつとも、断つておかなければならないことは、4章でのべるが、成層圏形成のためオゾンが必要条件というのではない。オゾンがなくても、成層圏はできる。しかし、50kmで高温層をつくり出すには、オゾンが必要であり、そのようにして形成された成層圏は、極めて安定な層となる。そして中間圏では温度が下層で高く、鉛直安定度は少し減ずるが、しかしそれでも決して不安定ではない。
それはとも角、何故この高度にオゾンが存在するか。それは例のChapman (1930)およびWulf と Deming (1936)の光化学反応(Photochemical reaction)の理論によって説明される。)すなわち、オゾン(03)生成に第一に必要なことは、酸素分子 (0)に高エネルギーの光量子 ()が衝突し、2ケの酸素原子()が解離 (dissociate) することで、これは

$$0_2 + h^{\nu} \rightarrow 20 \qquad (\lambda < 2420 \,\mathring{A}) \qquad (3.1)$$

とあらわされる。ことに入は光量子の波長で、詳しく云えば、主として酸素分子の Schuman-

^{*1)} Flohn と Penndorf (1950)は中間圏をupper mixing layer と呼んだ。また、Kellogg と Schilling (1951)は、中間圏は日中不安定となり、乱流があると述べている。乱流があるのはよいとして、鉛直に不安定ではない。

^{*2)} その他, Craig(1951), Gotz(1951), Johnson et al (1952), 関口(1960), Leovy(1964)参照。

Runge吸収帯とHerzberg 帯が吸収するエネルキーの波長である。) 次いで、解離された酸素原子と酸素分子および他の任意の分子(M) が 御突して、

$$O_2 + O + M \rightarrow O_3 + M \tag{3.2}$$

となり、オゾンが生成される。Mは反応の前後で、エネルギーおよびモーメンタムが保存される ために必要である。

一方, このようにして、オゾンが生成されると、オゾンのHartley, Chappius および Higgins 帯でエネルギーを吸収し、

$$3_3 + hv \rightarrow 0_2 + 0$$
, ($\lambda < 11540 \text{Å}$) (3.3)

となり、また酸素原子と衝突して、

$$0_3 + 0 \rightarrow 2 0_2$$
, (3.4)

となつて、再び酸素分子および原子に変る。との他 O_3 、に直接関係しないが、 O_3 、 O_2 、 O_2 の三者の関係を完結するためには、

$$0 + 0 + M \rightarrow 0_2 + M$$
 (3.5)

の反応も考慮しなければならない。以上5つの反応が、全体として閉じた系を形成する。

このようなわけで、上の反応が進行するためには、被長の短い(λ < $2420 \, \mathring{\rm A}$)、すなわち高エネルギーの紫外線と同時に、原料としての酸素分子が必要である。紫外線は上層はど豊富で 逆 に酸素は下層ほど多量であり、そのかお合いから、大体 25 km 高度を中心にオゾル生成されることになる。例えば Wulf と D eming (1936, 1937)、J ohnson et al (1952)等 の研究にあるよ

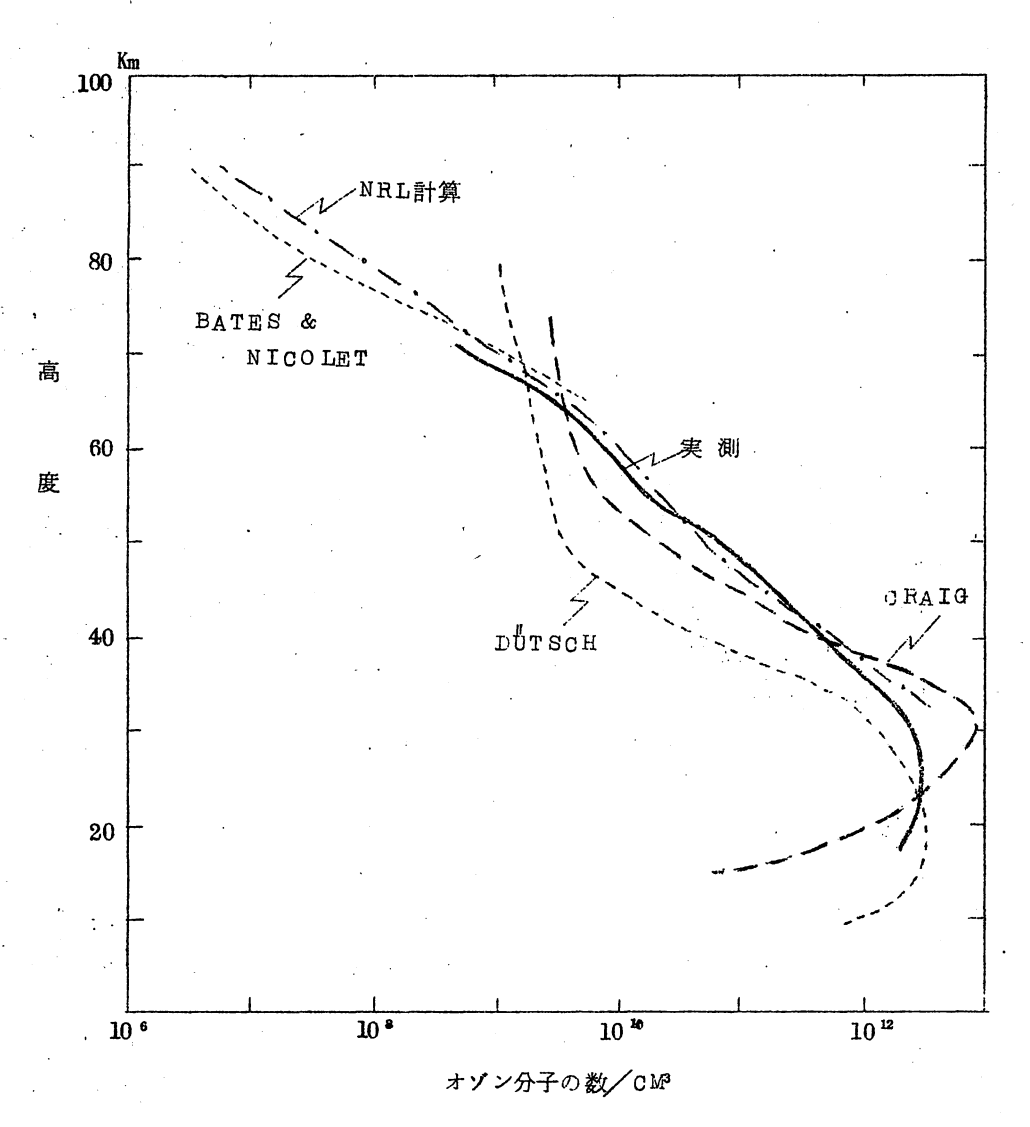
^{*8)} Schumann—Runge 吸収帯 ($\lambda < 1760 \text{ a}$)は $100 \text{ km以上で重要で、反応式は、} 0_2 + hv \to 0(3P) + 0(^1D)$, Herzberg 帯は($\lambda < 2420 \text{ a}$)は30 km の高度で効き、反応式は $0_2 + hv \to 20(3P)$ 。(Bates 1954)。

^{*4)} Mit Collision Partner 55 Withird body 2005,

^{*5)} との他に、 $O_3+O_2\to O+2O_2$, $O_3+O_3\to SO_2$, $O+O\to O_2+hv$ の反応があるが、省略されることが多い。またO H等との反応も考えられるが、これも無視している。

^{*6)} その他, Dutsch(1946), Craig(1950), Bates and Nicolet(1950), Paetzold(1955) の研究がある。
 J₂:(3.1)式で, 酸素分子の吸収する光量子の数、J₃:(3.3)式でオゾンの吸収する光量子の数、k₁₁, k₁₂, k₁₃:それぞれ(3.5), (3.2), (3.4)式の反応速度, これらは温度の函数, n₂₁, n₂, n₃, n_M:それぞれの、O₂, O₃, Mの数。n₁ n₃ に関する反応速度方程式は、d₁ n₁ / d t = 2 J₂ + J₃ - K₁₁ n² n_M - K₁₂ n₁ n₂ n_M - K₁₃, n₁ n₃, dn₃/dt = -J₃ + K₁₂ n₁ n₂ n_M - K₁₃ n₁ n₃ 。 平衡状態 d()/dt = 0 と仮定すると、n₃ が求まる。

うに、光化学反応理論によるオゾン量と実際の観測値は、平均の鉛直分布に関する限り、 $30 \, \mathrm{km}$ 以上でかなりよく一致している。第 $3 \, \mathrm{20km}$ の示したもので、実測値は



第3図 オゾン鉛直分布の実測と理論値。

実測:Johnson et al (1952)

理論: Dutsch (1946), Craig (1950),

Bates and Nicolet (1950), NRL (1952)

(Johnson et al 1952 から)

+ 7

ロケットに積んだ分光計で測つた値、Johnson 等の理論値はNRLと記してある。

オゾン生成の際に重要な他の点は、上の反応を通して、吸収した太陽エネルギーにより温度が高くなることである。すなわち、(3.3)の反応において、特に $2.000\sim3200$ \mathring{A} のオゾンの Hartley 吸収帯、あるいは $3.000\sim8600$ \mathring{A} の Higgins 帯で、紫外線を吸収して、 0_2 と0に解離する。一方、オゾンは赤外部の9.6 μ にも強い吸収帯があり、その波長域を通してオゾン自体が赤外放射を行ない、これは大気の冷却に寄与する。この吸収と放出を合せて、結局大気を高温に保つのである。

オソンの分布を与えて平衡温度を理論的に計算した最初の人はGowan (1928)である。 とれについては後に述べる。ところで、オゾン量の極大高度30kmと温度の極大高度50kmに食い違いがあるように見えるが、これは他でもない。オゾン層上部では紫外線が多いのに対し、下層では少なく、また太気の密度は上空にいくにしたがつて、急激に減少し、上層ほど有効に昇温するからである。

3.2 地球大気のメゾン

オゾンは化学記号で O_3 。 添字の8をアルフアベットの2とみて、 O_2 one というのだそうである。化学の教科書によると、空気に対するオゾンの比重は1.72、微青色、刺戟臭、-112 C で液化すると書いてある。

まず液化温度であるが、夜光雲の存在する高度で-112ではあり得る温度である。しかしこれは1気圧のことで、沸点は圧力が下がると低くなるから、オゾンの雲が存在する可能性はない。色に関しては、1880年 Chapplus、1881年 Hartley が空の青いのはオゾンのためではないかと考えた。しかし、これは間もなく1899年、Rayleigh の散乱説によって否定された。オゾンは刺戟臭があるというが、成層圏の臭をかいた人はないだろう。それにオゾンの混合比はそれ程多くない。

オゾン量の単位としては、オゾンを0°、1気圧の標準状態にもたらした時のオゾン柱の厚さをとる。この単位で、地球大気中に存在するオゾンはわずか0.3cmの厚さにしかならない。 これほど微量の気体が、 $5.0 \sim 6.0$ 0kmの高温層を現出していることは、驚くべきことであろう。

^{*7)} NRL-US Naval Research Laboratory 。 第8図で Dütsch, Craig の計算では、0+0+M→02+Mの反応が省略してある。この反応は上層で重要。

^{*8)} これを 0.8 STPcmと記した。STPは標準状態のStandard Temperature and Pressure の意。STPをNTPとも書く。NはNormal。 しかし,1961年10月以降は,WMOの決定で,10 STPcmを1m atm cm とあらわすことになった。

^{*9)} Hartley (1881)(第1章)参照。

地球大気中のオゾンの役割について、いろいろの議論がある。例えば、オゾンが太陽の強烈な 紫外線を吸収し、地上生物をその直接照射から遮蔽し、保護しているという考え。あるいは、オゾンが上層にあつて紫外線を吸収するため、下層大気中の H_2O 、 CH_4 が解離するのを食い止めている、という考えなどである。これらはそれ自体正しいことではあるが、問題はオゾンだけ が遮蔽に貢献するわけではないことた(Urey~1959)。

次章でふれるが、現在の地球大気中にある酸素の量は他の惑星大気と比較しても驚くべきほど多い。これは例の生物説によつて説明されている。それはとも角、酸素が多いと、オソンも多くなる。そこでオソンの役割を強く主張する説では、次のような筋書にする。すなわち、原始生物が光合成により、地殻内から酸素を遊離し、次いでオソン層を生じ、それが紫外線を吸収して、紫外線に弱い高等の動植物が陸上に発生する条件を与えるとする。そして、それらの動植物は更に酸素を遊離するというわけである。これによると、オソンの存在は高度の動植物が発生するための必要条件のようにみえるが、Urey(1959)によると、オソンがなくても、揮発性の炭化物も遮蔽作用をもつという。

3.3 オゾンの分布

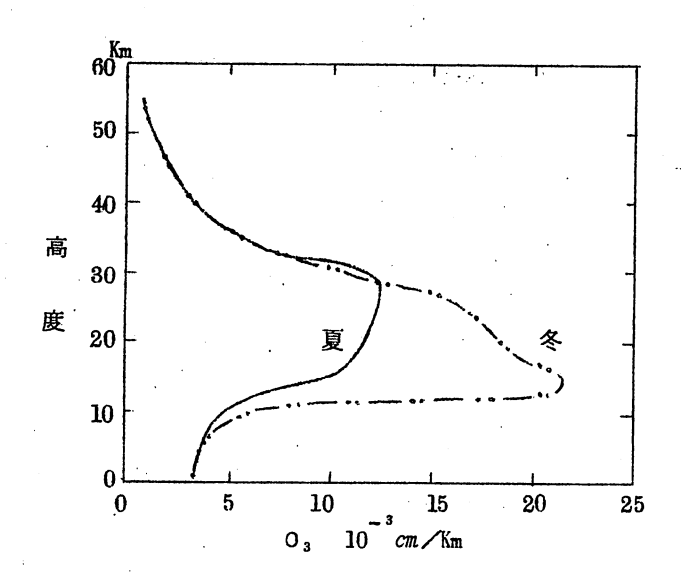
オゾンのような重い気体が、どのような訳で上空に存在するかは既に述べた。つまり光化学反応により、絶えず平衡を保つようになつているからであつて、その程度をあらわすのに緩和時間 (Relaxation time)でいうと、量的にはつきりする。これはオゾンが何らかの原因で、光化学平衡からずれたとき、それがどれだけ速やかに平衡状態に復帰するかを示すものである。具体的には、ずれが 1_0 (eは指数函数)に減少するまでの所要時間をとる。 1_0 1

つまり、35kmより上では、オゾンはほとんど平衡状態にあるが、それより下層ではオゾン量が保存されるわけである。しかし、更に下層の対流圏まで下つてくると、エアロゾル、水蒸気、 塵埃に会つて酸化作用を発揮し、自らも破壊される。

第4図はオゾンの高度分布で、¹¹⁾単位は1kmの厚さに含まれるオゾン量である。特徴は、冬は夏にくらべて、その最大値が30kmから15kmあたりまで下つていることである。これはオゾンの緩和時間から判断して、冬に空気が沈降していることを示している。このオゾン分布は月平均値であつて、日々の変化は非常に大きく、曲線が鉛直方向に一つの極大になるとは限らない。10~15kmの下層にも5一つの極大が現われることもある(例えば、Tønsbery and

^{*10)} 最初 Wulf and Deming (1937)が求めた。

^{*11)} 古くは Götz, Meetham and Dobson (1984)の図がある。



第4図 オゾンの鉛直分布(観測地点はカナダの monsonee と Edmonton) (Mateer and Godson 1960 より)

Ohlsen 1944. Paetzold 1955). 次にオゾンの鉛直積算備12) の緯度・季節分布を見てみ よう。オゾンの季節変動に ついては、Dobsonの1 926年以来の長期間にわ たる観測がよく知られてい *13)
る。 そして緯度・季節分 布図としては、Gotz (1951)あるいは Normand (1953) の作製したものが,一般に 使用されていた。ところが 最近になつて,オゾン量を 分光学的に換算する際に用 うるオゾンの吸収係数が少

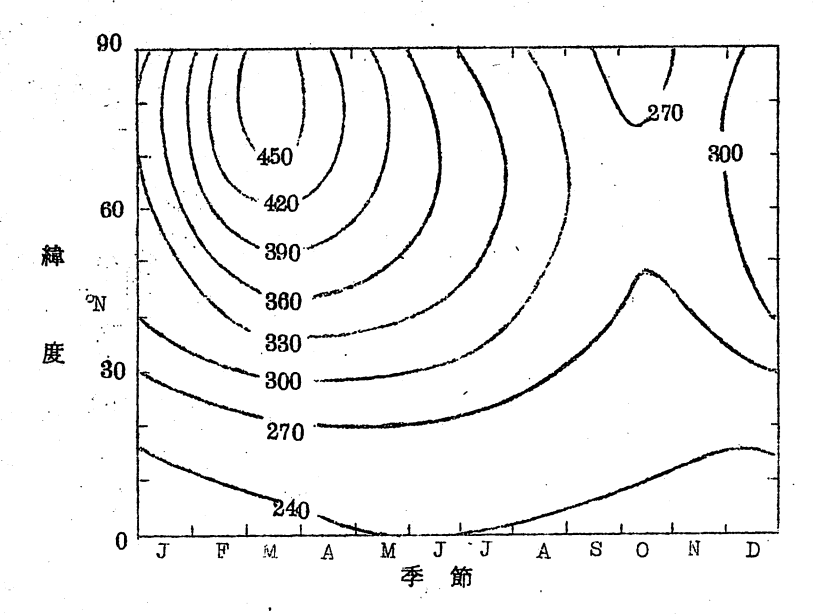
し違つていることが判つた。これまで用いられていた吸収係、数は、中国の Ny と Choong (1933)の測定値で、それが Vigroux (1953)および Inn と Tanaka (1953)の再測定により、かなり差があることが判明した。それに伴い、1957年7月以前に 報告されたオゾン量は、その値を36%増加することになり、またそれ以後は Vigroux の 吸収係数を用いて換算することになつた。これを Vigroux scale によるオゾン量という。 ここには最近のデータを用いた Vigroux scale による Godson (1960)の値を 掲げる (第5図)。

この図で最もいちじるしいことは、オゾン量が(a)春に最大、秋に最小、(b)赤道で少く、高緯度で多いことである。これは一寸不思議なことた。もし光化学反応理論を信用するとすれば、オゾンは太陽光線の多い赤道地方で多く、夏に最大となるはずである。ところが、実際は全くその逆といつてよい。 Pastzold (1956)はオゾンの鉛直分布を理論値と比較し、両者のずれが各緯度とも24km以下で大きく、赤道では理論値の方が大きく、高緯度では実際値が大きい

^{*12)} 全量ともいう。

^{*13)} Dobson (1930)参照。

^{*14)} Uigroux と Inn-Tanaka の測定値も互に違つており、どちらが正しいか直ち に判定できないという。



第5図 オゾンの緯度・季節分布 単位:m atm cm. Vigroux スケール (Godson 1960 より)

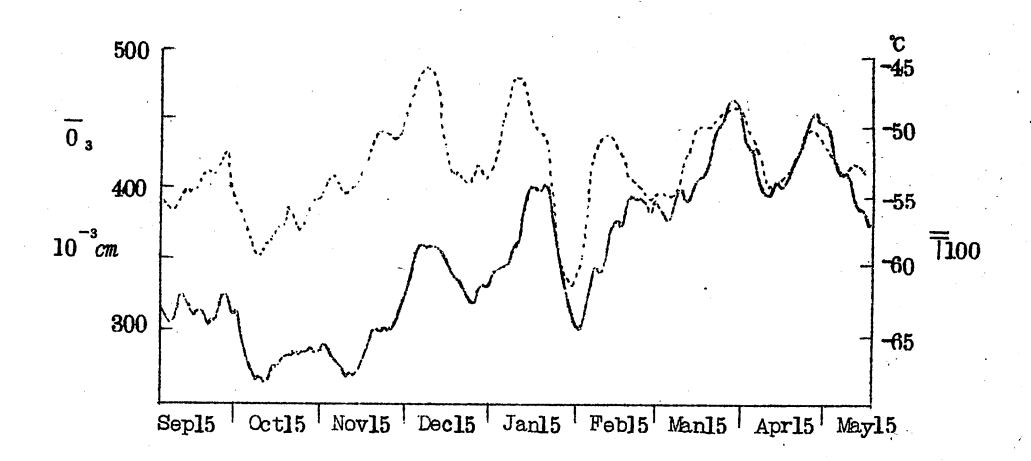
ことを結論してい る。

のオソンが下方に運ばれると、下層では保存され、一方上層では平衡値からのずれが直ちに補充され、結局鉛直方向に全体として増加することになる。そして上昇流によつては、2 5 km以下の部分にオゾンを含まない空気が吹きこみ、そこでは平衡への復帰が手間どり、全体としてオゾン量は減少することになる。

古くから云われていることであるが(Dobson, Harrison and Lawrence 1929, Meetham 1937), 地上低気圧の西側はオゾン量が平均より多く,東側で少ない。これも大気の運動と関係していることである。最近,Allington,Boville と Hare (1960)は上層の下降流(断熱法によつて求めた)とオゾンの変動量を比較し,非常に相関の高いことを確認した。また,この事実は温度とオゾン量の時間的変動が,非常によく似ていることからみても明らかである(Godson 1960,第6数)。

さて、話を第5図にもどすと、次のように考えられる。 (a)高緯度で下降流、赤道で上昇流があり、 (b)高緯度の下降流は特に春に大きい。春にオゾン量がいちじるしく多くなることは、後にのべる突然昇温の現象と関係している。なお、オゾン量の赤道附近における2年周期、オゾンの北半球分布図は後章で述べる。

^{*15)} このことは Normand (*1951)も詳しく議論した。



第6図 O₃ 量と温度 (T,100mb) の時間変動。——Ō₃ , …… T₁₀₀ 期間:1958—54冬

場所:カナダのEdmonton

10日移動平均 (Godson 1960から)

3 章の参考文献

綜合報告

Bates, D. R., 1954: The hysics of the upper atmosphere.

The earth as a Planet. (G. P. Kuiper, ed) Univ.

of chicago Press, Chicago 576-643

Craig, R.A., 1951: Radiative temperature changes in the ozone layer.

Compendium of Meteorology, (Malone, ed) Amer, Meteor. Soc., Boston, 292-302

Dutsch, H.U., 1961: Current problems of the photochemical theory of atmospheric ozone.

Chemical reactions in the lower and upper atmosphere.,
Proceedings of an international symposium at Stanford

Research Institute, Intersci. Publ. 167-180

Goody, R.M., 1964: Atmospheric radiation, I Theoretical base.

Oxbord Monograph on Meteorology Oxford at the Clarendon Prers, 486P.

Götz, F.W.P., 1951:Ozone in the atmosphere.

Compendium of Meteorology (Malone, ed.)

Amer. Meteor. Soc., Boston, 275-291

Normand, C. 1953: Atmospheric ozone and the upper - air conditions.

Quart. J. Roy. meteor. Soc. 79 39-50

関口理郎、1960:大気オゾン

天気 7 129-138, 225-230

Taba, H., 1961: Ozone observations and their meteorological applications.

WMO tech. Note no. 36, 48p

Urey, H.C., 1959: The atmospheres of the planets.

Handbuch der Physik 52 363-418

研究論文

Allington, K., B. W. Boville and F. K. Hare, 1960:
Midwinter ozone variations and stratespheric flow over Canada, 1958-1959.

Tellus 12 266-273

Bates, D. R. and M. Nicolet, 1950: The photochemistry of atmospheric water vapor.

J. geophys. Res. 55 301-327

Chapman, S. 1930:On ozone and atomic oxygen in the upper atmosphere.

Phil. Mag. 10 369-383

Craig, R. A., 1950: The observations and photochemistry of atmospheric ozone and their meteorclogical significance.

Meteor. Monogr. Amer. Meteor. Soc., Boston 1 no. 2 50P. Dobson, G. M. B., 1930: Observations of the amount of ozone in the earth's atmosphere, and its relation to the geophysical conditions — PartW.

Proc. Roy. Soc. London A 129 411-438

Dobson, G. M. B. and D. N. Harrison, 1926: Measurements of the amount of ozone in the earth's atmosphere and its relation to geophysical conditions.

Proc. Roy. Soc. London A 110 660-693

Godson, W. L., 1960: Total ozone and the middle stratosphere over arctic and sub-arctic areas in winter and summer.

Quart. J. Roy. meteor. Soc. 86 301—

Gotz, F. W. P., Meetham and G. M. B. Dobson, 1934: The vertical distribution of ozone in the atmosphere.

Proc. Roy. Soc. London A 145 416-446

Gowan, E. H., 1928: The effect of ozone on the temperature of the upper atmosphere.

Proc. Roy. Soc. London A 120 655-669

Inn, E. C. Y. and Y. Tanaka, 1953: Absorption coefficients of ozone in the ultraviolet and visible regions.

J. opt. Soc. Amer. 43 870-878

Johnson, F. S., J. D. Purcell, R. Tousey and K. Watanabe,

1952: Direct measurements of the vertical distribution

of atmospheric ozone to 70 kilometers altitude.

J. geophys. Res. 57 157-176

Leovy, C., 1964: Radiative equilibium of the mesosphere.

J. atmos. Sci. 21 238-248

Mateer, C. L. and W. L. Godson, 1960: The vertical distribution of atmospheric ozone over Canadian stations from Umkehr observations.

Quart. J. Roy. meteor. Soc. 86 512-518

Meetham, A. R., 1937: The correlation of the amount of ozone with other characteristics of the atmosphere.

Quart. J. Roy. meteor. Soc. 68 289-307

Normand, C., 1951: Some recent work on ozone.

Quart. J. Roy. meteor. Soc. 77 471-478

Ny, T- $^{\rm Z}$ and S-P, Choong, 1933: Labsorption de la lumiere par l'ozone entre 3050 et 2150 Å

Compt. Rend. 196 916-918

Patzold, H. K., 1955: New experimental and theoretical investigations on the atmospheric ozone layer.

J. atmos. terr. Phys. 7 128-140

Reed, R. J., 1950: The role of vertical motions in ozone weather relationships.

J. Meteor. 7 263-267

Vigroux, E., 1958: Contribution á l'etude experimentale de l'absorption de l'ozone.

Aun. de Phys. 8 709-762

Wulf, O. R. and L. S. Deming, 1936: The effect of visible solar radiation on the calculated distribution of atmospheric ozone.

Terr. Magn. atmos. Elect. 41 375-378

Wulf, O. R. and L. S. Deming, 1937: The distribution of atmospheric ozone in equilibrium with solar radiation and the rate of maintenance of the distribution.

Terr. Magn. atmos. Elect. 42 195-202

4. 放射平衡

4.1 放射平衡の温度

地球大気に対流圏や成層圏が存在するのは何故か? また何故温度の鉛直分布が第2図のようになるか? このような疑問は地球物理学における基本問題の一つである。これに答えるには、大気に入射する太陽エネルギーと大気自身の射出するエネルギーをとり、それがどのような大気温度でつり合うかをみる。これが放射平衡(Radiational equilibrium)の理論である。筆者はこの分野に関しては専門ではない。詳しくは、その方面の専門書(例えば、Fritz

1951, 山本1954, 1956, 1964, Kondratiev 1954, Goody 1964) を参照して頂くことにし、ここでは成層圏の話の道筋に当る部分につて、その概要を復習してみることにするまず、大気は地上から無限にのびる連続体であり、しかも種々の気体から構成されている。一般に、気体はそれぞれに固有の吸収帯をもち、その吸収帯に相当する波長のエネルギーを吸収し、その逆の射放も行たち、地球大気を機成する気体のうち、その主成分の N. O. A は吸収器

その逆の射放も行なう。地球大気を構成する気体のうち、その主成分の N_2 , O_2 , A は吸収帯の 波 長 分 布からして,短波長エネルギーに対しては有効であるが,長波に対しては透明である。 長波に対して有効な気体は, H_2 O, CO $_2$, O_3 , N_2 O, CO, CH $_4$ である。

さて6000%の太陽から出発した短波長の電磁エネルギー、つまり日射が地球大気に入射すると、各高度でさまざまな気体によつて吸収される。まず100 kmより上では、1000 Å以下の遠紫外線(Far ultraviolet ray)が、0, 0_2 , 0_2 , 0_2 , 0_2 , 0_3 , 0_4 (かなり上層で 0_3) により吸収され、気体は電離(ionize)して、電離層を形成する。 0_4 0 kmでは、 0_4 0 kmでは、 0_5 0 chumann Runge 連続吸収帯により吸収され、 0_5 0 は解離して 0_5 0 なる。また $17\sim70$ 0 kmでは、 $1760\sim1925$ 1 の紫外線が 0_5 0 Schumann-Runge 帯に、 0_5 2 42 00 Å以下がHerzberg 吸収帯により吸収され、同じく解離して 0_5 0 をなる。それと同時に、 0_5 1 0 0 03 2 0 0 Åのエネルギーは 0_5 1 の Hartley 帯により吸収され、 0_5 1 と 0_5 1 になる(Bates 0_5 1 0 5 4)。

そしてその残り — 実は大部分 — が対流圏に侵入する。対流圏では雲により反射され、 大気、霧、塵埃に散乱され、一部は大気に吸収される。しかし、そのエネルギーの大部分は大気を透過し、地球表面に達し、 $3000\sim8000$ Åの近紫外線(Near ultraviolet ray) および可視光線(Visible ray)が地面で吸収される。

それらを量的にみると次のようになつている。地球に入射するエネルギーは、年平均で0.5 Gal_{coll} min で、それを100%とすると、そのうち34%は地球に反射、散乱され、47%は地表面に吸収され、19%が大気に吸収される。

一方,大気自身はその温度が 一 結果的に 一 およそ200~300°Kの比較的低い温度の範囲内にある。したがつて,その中に存在する H_2 0, C_2 , O_3 等も低い温度にあり,被 長4 μ 以上の長波長(赤外線)エネルギーを放射する。 その際,放射性としての大気は,鉛直に連続に層をなしているわけで,放射エネルギーを地表面を含めて,下層から上層へ(あるいは

^{*1)} 気体の吸収スペクトルについては、Goldberg (1954), Goody (1954, 1964), 山本(1954), Handbook of geophysics (1960)参照。

^{*2)} 反射能(albedo)は0.50~0.70。

^{*3)} つまり、地球の反射能は0.34。

^{*4)} 赤外放射(Infrared radiation) 分子の廻転状態の遷移による放射。

上から下へ),次々と伝達し(transmit)で行き、 最後に虚空へ送り出すことになる。 赤外放射エネルギーの伝達をあらわす関係は、高度に関する微分方程式になるが、それを実際の大気について計算すると、次のような値になるという。太陽からの入射エネルギーを規準にとって、それを100%とすると、大気から外界への赤外放射は60%、地表面から外界への放射が6%である。つまり先にのべた短波長エネルギーの反射量34%と上の長波長の放射エネルギー66%を合せて100%となり、熱収支がつり合うことになる。

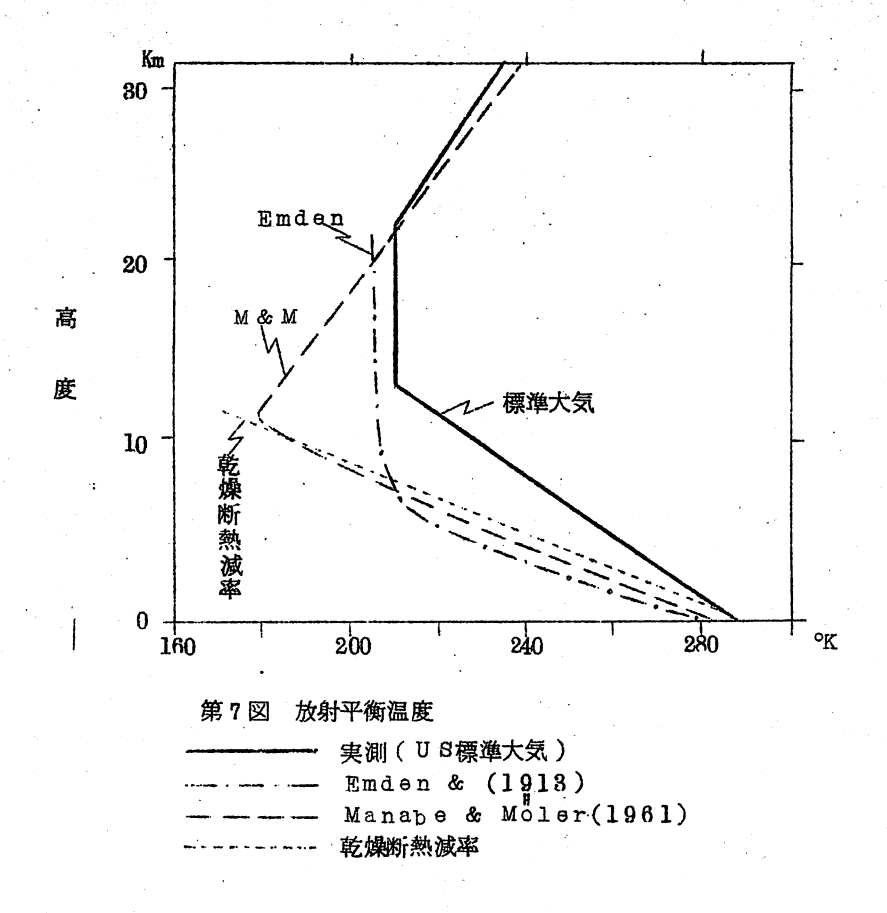
要するに、大気は短波長エネルギーを吸収して加熱され、他方、長波長エネルギーを放射して冷却し、そのエネルギーの差引きが丁度打ち消して零になるような温度分布となる。これが放射平衡温度である。

1908年頃,成層圏の成因について,多くの人が仮説を提出した。その中でイギリスの Gold(1909)とアメリカのHumphreys(1909)は,放射平衡によつてこれを説明 しようとしている。例えば,Humphreys は,対流圏と成層圏から成る二層大気のモデルを 考え,二層間の放射平衡温度の関係を導いた。上層大気の温度を T_1 ,下層大気の温度を T_2 と すると,その関係は $T_2^4/T_1^4=2$ となる。2となるのは,上層大気が外気圏と下層の両 方へむけて放射するからである。この式の T_2 に,対流圏の平均温度 246.5° K を代入すると, 成層圏温度として $T_1=207.2^\circ$ K $(-65.8\,\circ$) を得る。

ことで取り扱つた放射は黒体放射で、これは実際とはいちじるしく違つており、また大気の光学的厚さも考えていない。その後、本格的にこの問題と取り組んたのは、ドイツのEmden (1913)である。太陽から地球に入射するエネルギーのうち35%が反射され、残りが太陽中に浸透するとする。大気による日射の吸収(全体の19%)は、高度について指数函数的に下方に増すものとし、また H_2 0の赤外放射に関しては、吸収係数が波長によらない灰色放射 (Grey body radiation)を仮定、更に地表面は黒体放射をするとする。このようにし

^{*5)} ν :放射エネルギーの振動数, \mathbb{U}_{ν} :上向き放射, \mathbb{D}_{ν} :下向き放射, \mathbb{B}_{ν} :無体放射, \mathbb{E}_{ν} :吸収件数, ρ :大気の密度, Z:鉛直高度 とすると,放射伝達の式は $\mathbf{cos}\theta\mathbf{dU}_{\nu}/\mathbf{dz} = -\mathbf{K}_{\nu}\rho\left(\mathbf{U}_{\nu}-\mathbf{B}_{\nu}\right)$, $\mathbf{Cos}\theta\mathbf{dD}_{\nu}/\mathbf{dz} = \mathbf{K}_{\nu}\rho\left(\mathbf{D}_{\nu}-\mathbf{B}_{\nu}\right)$ 。 $0 \le \theta \le \pi/2$ (山本1954, \mathbf{Goody} 1964参照)

^{*6)} ζ :太陽の天頂距離, a:太陽エネルギーの吸収量, T:大気の温度, t:時間, C_P :大気の等圧比熱とすると, $C_P \rho \cdot \partial T / \partial t = -\cos \zeta$, $\partial a / \partial z - \partial (U-D)$ / ∂z 。 右辺第1項が短波長エネルギーの吸収,第2項が赤外放射による冷却。それ が温度の時間変化に等しい。たゞし,波長について積分したものとする。



て、放射平衡温度の鉛直分布を計算した。第7 図はその曲線で、特徴は(a)無限遠で-68.5 \circ 0 温度,(b)大体 8 \circ 6 \circ 6 \circ 6 \circ 6 \circ 7 図はその曲線で、特徴は(a)無限遠で-68.5 \circ 0 温度,(b)大体 8 \circ 6 \circ 7 無限では、実際の温度曲線と比較して、鉛直方向に 急激に低くなつており、これは湿潤粉熱減率(adiabatic lapse rate)約6.5 \circ 7 \circ 7 \circ 6 \circ 7 \circ 8 と比べて、不安定な成層になっている。

最後の点は重要である。放射によって,大気は下層で温度が高く,不安定(Topheavy)になる。実際の大気中では,とのような不安定成層が生ずると,対流が起り安定化(正しくは中立化)する。つまり,対流効果の結果として,温度曲線は地表面からある高度まで,減率約6.5 ${\rm C/Km}$ のほど直線が取って替り,その高度から上は放射平衡温度を保つわけである。したがって,対流止面はその転移点,つまり対流の止る高度というととになり,それより上が成層圏に相当する。そして,対流圏のできる条件は,地表面の反射能が小さく,放射平衡温度が対流の臨界線率より不安定になることである。

^{*7)} この仮定は Gold (1909)が最初用いた。

^{*8)} 断つておくが、上の対流止面の定義はその物理的意味を云つているのであつて、実際の温度曲線についての対流止面の決定ではない。

Emden の計算では,成層圏の温度はよく算出されていない。これは無論オゾンを考えなかったからである。その他,取り扱い上の欠陥として,灰色放射の仮定を用いていることである。最近,真鍋と M_0^0 11er(1961)は,現段階として可能な限り実際に近い仮定を用い,高度 $30\,\mathrm{km}$ までの平衡温度を求めた。)すなわち,吸収気体として N_2 , O_2 , H_2 O, O_3 , CO_2 ,放射気体として H_2 O, O_3 , CO_2 をとり,その高度分布も1961年現在で最新のデータを採用し,灰色放射を仮定しないで,気体の吸収帯をできるだけ精密に取り扱つた。計算は逐時近似法により,電子計算機を用いて平衡温度を求めている。

その結果を第7図に合せ示した。この計算では、成層圏温度が見事に実測値と一致している。 対流圏で実際の温度曲線と違つているのは、前にものべたように対流効果を故意に含めなかつた からである。

 $30\sim90$ kmの上部成 層圏と中間圏については放射平衡温度を計算した人はまだな *,0 中間圏でも第一近似として,放射平衡がなり立つことは明らかである。その他,5章で述べるが,酸素原子が再結合して酸素分子になる時の放出熱が重要である(Kellogg 1961,前田 1962)。

Thermosphere では下層とは様相がかなり異つてくる。まず大気の組成は酸素分子,酸素原子と窒素分子が主成分で,更に上層では窒素分子も解離している。放射の機構に関しても,下層と事情が異なる。Curtis と Goody (1956)によると,熱圏では圧力が低く,分子の振動エネルギーの遷移による放射の寿命時間にくらべ,分子の衝突の時間間隔の方が長く,Kirchhoff の法則は成り立たなくなる。この高さを Vibrational relaxation (振動緩和)の高度と呼び,表球大気の場合は大体95kmである。この高度から上では,エネルギーの放射は下層におけるような伝達の方式はとらず,各高度で独立に分子が衝突によつて励起され,その都度エネルギーが射出されることになる。

それだけではない。更に重要なことは、この高度から上では放射はもはや大きくなく、温度は高度と共に飛躍的に増加する。熱圏での熱源は、酸素が太陽エネルギーを受けて、光電離(Photoionize)し、その際にエネルギーの一部を熱に変換(Bates 1956、Johnson 1959)ことであり、その熱は分子熱伝導により下方に運び去られる(Spitzer 1948)。 Nicolet によると、分子熱伝導係数は温度の平方根に比例し、

^{*9)} その他, この種の研究には Gowan (1929, 1947), Karandikar (1946), Goody (1949), Dobson, Brewer & Cwilong (1946)がある。真鍋— Moller (1961)は一番酸密に取り扱つている。

^{*10) 5}章でのべる Murgatroy and Goody (1958)およびLeovy (1964) 参照。

*11)

上空へいく程大 きくなる。

Hunt と Zondt (1961)は、光電離による熱の吸収と熱伝導による熱の除去がつり合うとして、高度180kmを下端の境界とし、適当な境界条件を与えて、熱圏の温度分布を計算した。その結果は実測値と大体一致している。

このようなわけで、放射による冷却は上の効果にくらべると、大体その10%ぐらいにしかならない。この他可能性のある冷却源として、次のものが挙げられるという(Johnson 1958)。酸素原子の再結合の時に放出される熱、太陽からの微粒子(Corpuscular)が大気に突入する時に放出する熱(Bates 1951、石川 1959)、電磁流体力学的にひき起された波が散逸する時の熱(Dessler 1959)、流星が降下する時に出る熱(Johnson 1958)等である。しかし、これらの効果がどの程度の大さのものかは判つていない。

以上をまとめてみると次のようになるであろう。対流圏では放射対流(radiational convective)の平衡,成層圏・中間圏では放射(radiational)平衡,熱圏では光電離・熱伝導(photionizing thermoconductive)の平衡がほごなり立つている。

4.2 惑星大気の温度

惑星大気 (planetary atmosphere)の問題は、現在も進行中の分野で、今後急速に発展すると考えられる。詳しくは Urey (1959)、宮本(1962)、清水・畑中(1963) および Rasool と Jastrow (1964) をみて頂くことにし、ここでは放射平

*11) 温度方程式は, $C_{\nu}\rho$ $\frac{\partial T}{\partial t} = P - R + \frac{\partial}{\partial z} \left(K \frac{\partial T}{\partial z} \right)$ 。

右辺第1項 Pは光電離の際に熱エネルギーに変換されるエネルギー、第2項 Rは放射冷却、第3項は分子熱伝導。 C_{ν} :等容比熱、 K: 分子熱伝導係数、 K=f μ C_{ν} の 関係がある。 f=2.5(1原子気体),1.9(2原子分子), $\mu=\frac{5}{16}$ $\frac{(\pi kmT)\frac{1}{4}}{\pi r_{1}^{2}}$, r= 原子半径,K: Boltzman 常数, m: 原子量。したがつて,K=A T E あらわすと, $A=2.1\times10^{3}$ (for H), 3.6×10^{2} (for O), 1.8×10^{2} (for O_{2} , O_{2}) いずれも単位は erg/cm sec day O_{2} O_{3} O_{4} O_{4} O_{5} O_{6} O_{7} O_{8} O_{8}

次に $\tau = \Sigma \sigma \iota \int_{\tau}^{\infty} n_i(z) dz$ 。 τ :光学的厚さ, σ_i :光電離断面積, ι :電離気体をあらわす示数, n_i :密度数とすると,

 $P = \int I(\lambda) e^{-\tau} \sum n_i(z) \delta \iota \epsilon$ $(z,\lambda) d\lambda$ となる。 $I(\lambda)$:太陽エネルギー、 ϵ :熱効率(thermal efficiency)すなわち吸収した光量子が熱に変換する率。(Bates 1954)

Rについては Bates (1951, 1954)参照。

第1表の1. 惑星の基本的量

惑 星			太陽からの距離	半 径	重量	動力加速度
		単位.一	太陽・地球間	地球	地球	cm∕sec²
水	星	Mercury	0.387	0.3 9	0.0 5 4	350
金	星	Venus	0.728	0.978	0.818	842
地	,球	Earth	1.	1.	1.	980
火	星	Mars	1.5 2 4	$0.532^{\bigodot{1}}$	$0.1076^{\textcircled{1}}$	877 ²
木	星	Jupiter	5.2 0 8	11.194	317.36	2592
土	星	Saturn	9.539	9.8 5 1 ¹	95.08	1145

((註)) ① Brouwer & Clemence(1961), ② Rasool & Jastrow (1964)

第1表の2 惑星の基本的量

			自転周期	公転周期	軸の傾き	反射 能	有効温度 *
	東	位→		地 球			° K
Γ	水	星	88日	•		0.063	617
	金	星	247±5日	0.6152	23° ?	$0.59^{\scriptsize{\textcircled{5}}}\ 0.76^{\scriptsize{\textcircled{4}}}$	370 [©]
	地	球	23時56分	1.	23° 27′	0.36 0.40 3	
	火	星	24時37分	1.8808	28° 59′	0.26 0.16	217 305
1	木	星	9時50分	11.862	3° 0.5′	0.47 0.73	1506
	土	星	10時14分	29.457	26° 44'	$0.46^{\scriptsize{f (5)}}\ 0.76^{\scriptsize{f (4)}}$	1256

- (3) Danjon (1954), (4) Harris (1961)
- Kuiper (1949) Urey (1959) (5)
 - ⑥ Pettit (1961)
- ⑦ Kuiper (1952) 反射能 0.15 とする。
- S:地球における太陽常数
 - r:太陽からの距離(天文単位), σ:積算した反射能

第1表の3 惑星大気の組成

						•	
	成 分	検 出	体積百分率		成分	検 出	体積百分率
金 星	N ₂	0 .	85	木星	H_2	· ×	60
	C 02	0	15		Hе	×	36
	H ₂ O	0	?		Ne	×	8
	g0	0	?		CH4	0	1-7
地球	N ₂	0	78		NH ₃	0	}<1
	02	0	21		H_2	×	
	A	0	0.93		Н _е	×	
	CO2	0	0.3.8		Ме	×	
	H ₂ O	0	1~10-3	土星	N ₂	×	
	N ₂	×	72		CH4	0	
	0 ℃2	0	2 75		N H ₃	0	
火 星	A	×	2		<u> </u>		
	H ₂ O	Ö	?				
	02	0	?		•		

第1表の4 惑星大気の諸量

			地表温度	地上気圧	対流に面にます。K	その高さ Km	対流圏の 温度減率 K/KM	中間止面 の高さ KM	その温度 °K
+	Δ			100/=T:					
	金	星	600	100気圧	235	30~80	10能)	68 雲頂より	190
	地	球	288	1013 m b	210 <u>+2</u> 0	13±5	10的6個	82	190
	火	星	230	20mb	130	8	3.7 (乾)	130	134
	木	星	(1000?)					200 雲頂より	
	土	星							

焦点を温度の鉛直分布にしばつて概観してみより。

よく知られているように、太陽系の惑星のうちで、地球を除いて最も詳しく調べられているのは火星(Mars)である。1950年、アメリカの Journal of Meteorology に Hess の論文が掲載され、その中には火星大気(Martian atmosphere)の天気図も示されて、人々を驚かしたものだ。その後、大気の組成や地表温度に関する知識は、加速度的に 蓄積され、古い値は次々と修正されつつある。その観測方法は、光学的・偏光学的、スペクトル 分析、赤外放射、マイクロ波、あるいは惑星の掩蔽(Occultation)時の観測で、これらの手段を駆使し、綜合判断によつて成分、温度を決定する。殊に、1930年、アメリカの Jansky が銀河からの電波をとらえて以来、電波観測は惑星大気の探索にも有力な武器となっている。

さて、最近の報告(Rasool and Jastrow 1964)によると、火星大気は次のように考えられている。以前 80 mb ぐらいとされていた地上気圧(Dollfus 1957、1961)は、どうやら $20\pm10\,\mathrm{mb}$ に落着いてきた。温度は Sinton と Strong (1960)の赤外線観測により、平均地表温度 = $230\,\mathrm{cK}^{13}$) 赤道温度 = $300\,\mathrm{cK}$,日中の極温度 = $220\,\mathrm{cK}$,温度の日変化= $60\,\mathrm{cK}$,となつている。また、大気の組成は、地上気圧の見つもりが変つたため、従来の体積百分率で $CO_2=28$ (de Vaucouleurs 1960)といわれていたものが、新たに $N_2=72\%$, $CO_2=25\%$,A=2%となつた。 O_2 はわずかで0.5%以下(地球の量の15%ぐらい その他少量の H_2 、 15) オゾンもわずかに存在するという。

一般に惑星大気の鉛直温度分布は、現在でも理論計算によるより他に方法がない。Hess (1950)は火星大気の温度曲線を初めて計算したが、その後 Goody (1957),

^{*12)} 第1表参照

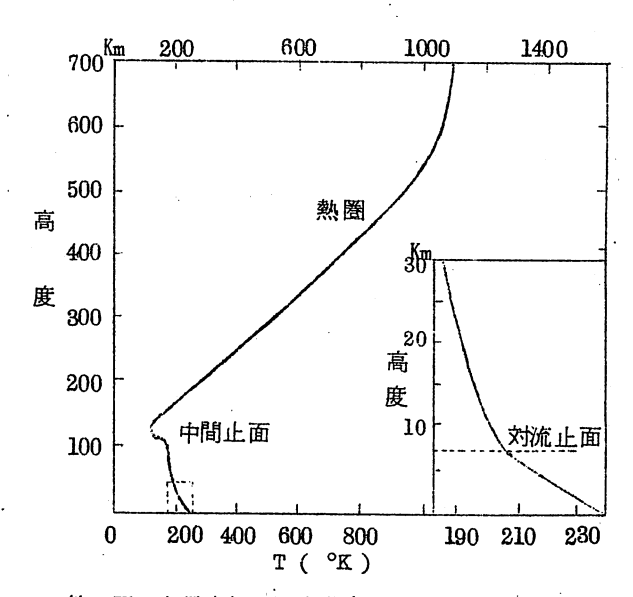
^{*13)} Mayer (1959)は8cmマイクロ波の観測から,218±50 °K を得た。

^{*14)} Dunham と Adams (Dunham 1952を参照) はDoppler 偏倍を利用して、O2 の量を推定。

^{*15)} Dollfus (1951, 1961)は偏光から、Kuiper (1952)は赤外線から、極冠(Polar cap)は氷霜(Ice-frost)であることを結論。その反射能は0.4~0.5。Strong と Sinton (1956)によれば、朝もや(Haze)は水滴であるという。水蒸気の量は、6.10 g/cm(Kuiper 1948), 7mm (Dunham 1952), 8.10 g/cm(Goody 1957), 4.10 ~4.10 g/cm(Urey 1959), 2.10 g/cm(Dollfus 1963)が報告されている。

温度230 °K を与え、
Goody と同じように
放射対流の平衡を仮定し
て計算した。その結果は、
対流止面が9km,温度は
196 °K となつている。
以上を要約すると、火
星大気の対流止面は8~
9kmである。しかし、
CO2 の構成比率が修正
されてからは、まだこの
種の計算がなされていない。

第8図の上方,すなわち中間圏より上は、



第8図 火星大気の温度分布

Arking(1963)と Chamberlain(1962) の理論計算。 (Rasool と Jastrow 1964から)

^{*16)} 断熱減率=g/CP. g:重力加速度, CP:等圧比熱。

^{*17)} スケール高度(Scale height)三KT/mg。 R:Boltzman 常数, T:平均温度, m:平均分子量。

^{*18)} T_{G} :地表温度, T_{e} :有効黒体温度, S:太陽常数, a:反射能, τ :光学的 厚さ,とすると、 T_{e} = S(1-a)/ 4σ , T_{G} = T_{e} (1+ $\frac{3}{4}$ τ)の関係 がある。

*19)

Chamberlain の求めた曲線である。Goody (1957)と Chamberlain (1962)は,火星大気では CO_2 が CO_2 + h_{ν} \rightarrow CO+O (λ < 1690 $^{\circ}$ A)と解離し、 CO が放射冷却することが重要であると主張している。そしてCO の解離を始める高度は, CO_2 の体積百分率を2%(古い値)とすると,124kmになる。 中間止面はそれより少し上であるうとし,仮りにそれを130kmとすると,その温度は76 $^{\circ}$ K になるという。熱圏については,前節にのべた Hunt と Zondt (1961)と同じ方法,つまり光電離熱伝導の平衡を仮定し,地球大気の場合の0。の代りに、 CO_2 を用いて計算した。

このような理論温度曲線を検証する手段は、また見出されていないが、全く希望がないわけでもない。火星は赤い星として知られているが、その大気中に白・黄・青色の雲が観測される。例えば、青い雲(Blue cloud)は 高緯度の $100 \, \text{Km}$ より下の高さに浮んでおり、これが地球大気の中間止面に存在する夜光雲に相当するのではないかと云われている($000 \, \text{Goody} 1957)。また、黄色の雲(<math>000 \, \text{good}$ cloud)は下層にあつて、砂塵が舞い上つたものであろうという。これらはすべて有力な手がかりを与えるかも知れない。

火星に比較して、金星(Venus)は地球に一番近い惑星であるにもかかわらず、また最も明るく輝く星として、古くから人々の注意をひいていたにもかかわらず、火星ほどよく判つていないようだ。その理由は、金星の表面は濃密な雲に掩われ、地表面が全く見えないからである。そのため自転速度さえはつきりとは知られていない状態である。 21 それだけに、金星大気(Venusian atmosphere)は我々の興味をそそるのである。周知のように、1961年2月、アメリカの航空宇宙局は、金星に向けて宇宙ロケット Mariner 1号を、続いて1962年には1号を発射した。1号は金星から4万1千㎞の距離にまで接近し、5760万㎞離れた地球へ観測情報を送信した。

^{*19)} Chamberlain (1962)は、地球大気について用いられる成層圏は、その物理的意味が不明瞭であるとし、天文学はこんなあいまいな言葉で汚されないようにしようと唱えている。Cham-berlain の分類は、対流圏・中間圏・熱圏である。しかし、本文ではWMOの決定に従う(第1章参照)。

^{*20)} Goody の計算では,145 Kmから解離をはじめる。ちなみに地球大気の場合,前にも述べたように, 0_2 の解離は95 Kmから始まる。

^{*21)} Danjon (1943), Dollfus (1956)は、金星の雲の面に見られる灰色の模様が、常に太陽の方向を向いていることから、それが地表の山を反映しているのではないかと考え、公転と自転速度が等しいとした(同期回転 Synchronous rotation)。すなわち、自転周期は247±5日。最近、Goldsmith et al (1963)は、金星へ送つた10~68㎝電波の Doppler 偏倚から、自転周期を240日と推定。

最近の報告によると(Spinrad 1962),金星大気の組成は,質量百分率で $N_2 = 96$ %, $CO_2 = 4$ %,それに極めて微量の H_2 0となっている。もつともスペクトルからその量がわかるのは、 CO_2 と H_2 0 だけで 22 0 N_2 は推定による(Kaplan 1961)。しかも,これは7気圧の高さより上の大気についての値で,その高さが何処であるかは明確でない。雲頂温度は320 $^{\circ}$ K(Kuiper 1957)で,その他に Chamberlain と Kuiper (1956)が, CO_2 の吸収スペクトルの廻転帯から観測した温度として,285 \pm 9 $^{\circ}$ Kがあるが,これは目に見える雲頂の少し上であろうという。また,最近 Sinton と Strong (1960)は CO_2 の遠赤外線(8 \sim 13 μ)の観測により,284 $^{\circ}$ Kを得る。これはMariner IFの観測により,再確認されてる(Chase et al 1963)。この最後の温度は目に見える雲頂より更に上のものであろう(第9図 参照)。雲頂圧力については,まだいろいろ議論のあるところだが,Dollfus (1961),Kaplan (1961)および Sagan (1962)は,90mbと結論した。

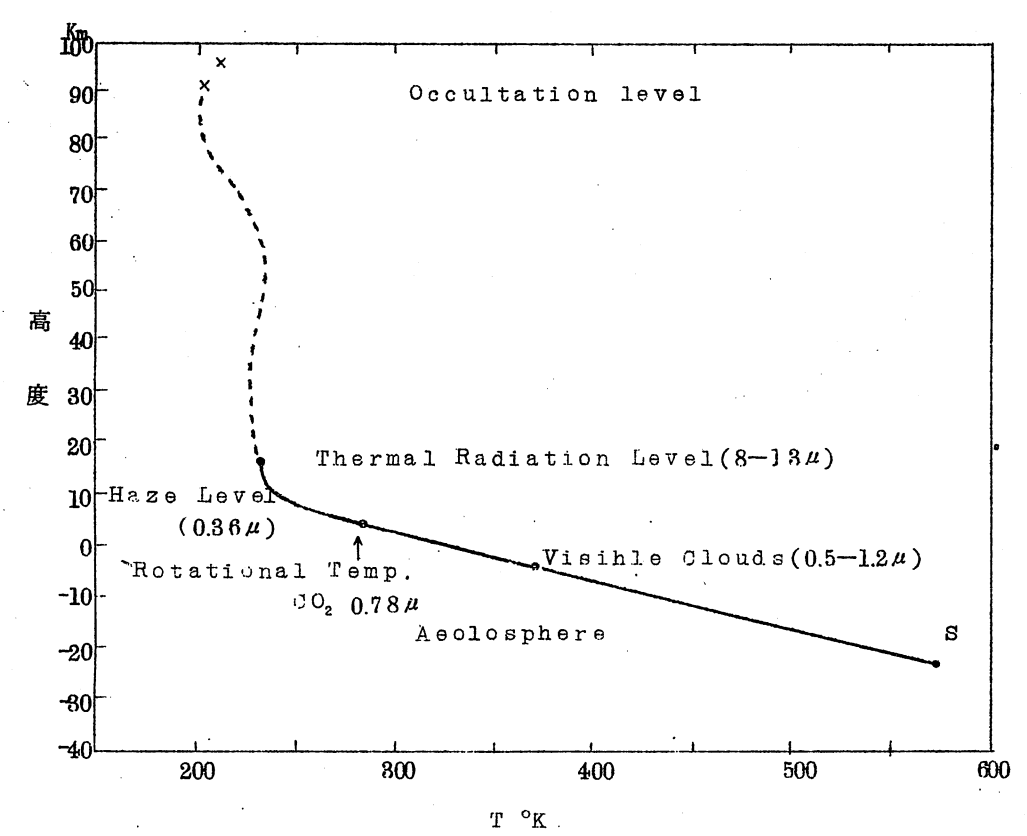
雲の中の探索はかなり困難のようだ。雲を透過する電磁波としては,マイクロ波しかない。 Mayer (1959) および Mayer et al (1958,1960) は,金星から発する $3\sim10$ cm波を電波望遠鏡によつて観測し, $560\sim620$ °K の温度を得た。 現在,この温度は一応地表温度をあらわしているものと考えられる。その後の観測では,金星の暗い面で 600 °K ,明るい面で $700\sim800$ °K となつていき。

^{*22)} 金星の CO_2 を最初に見出したのはAdams と Dunham (1932)。 H_2O については、Spinrad (1962)がその混合比を 10^{-5} と報告。Mueller (1964)によると、 H_2O の分圧は 10^{-3} 気圧以下、CO と CO_2 の分圧の比は 10^{-3} 以下という。その他、一応 N、、O、も検出されてはいる。

^{*23)} 雲頂温度を最初に測定したのは、Pettit と Nicholson (1924)で、その温度は241 °K。

^{*24)} Spinrad (1962)は、CO2の観測から500 %を推定。Mariner IF の観測では、695 % となつている。

^{*25)} Barath et al(1963)はMariner Io観測結果を発表。それによると、明るい面で400 K, 暗い面で460 °K, Terminater で520 °K。



第9図 ^{||}Opik(1961) による金星大気の温度分布。 横軸は温度(°K), 縦軸は高度。高度の原点は雲頂。

温度は大体とのあたりに落着いたようにみえるが、地表圧力は問題のあるところた。例えば、 δ pik (1961),Spinrad (1962)はその圧力を4~7気圧と推定したが、後に述べるように、これと全く違つた200気圧を主張する人もある。その問題に移る前に、参考のため δ pik(1961) の温度分布を第9図に示す。これはあくまで試験的なものであることを注意しておく。この図では、地表温度は570 $^{\circ}$ K ,地表圧力を7気圧とし、地表面は雲頂から40km下にとつてある。 また、雲の上の温度曲線は、 00_2 の体積百分率を、20%とした時の温度で、これを求めた方法は明らかでない。図中の aeolosphere という言葉も δ pik の発案で、彼の専売特許である。

^{*26)} Vaucouleurs と Menzel(1960)は、次のようなモデルを提案した。地表温度580 °K,対流止面の高さ29.5 km,温度は285 °K,中間止面の高さは65 ~75km,温度235 °K,また97kmの高度で297 °K。

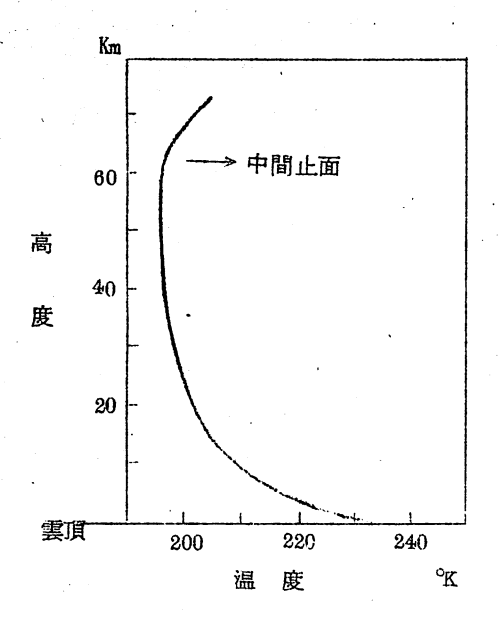
さて、金星大気における最も不可解な問題は、地表温度 600~800 °K という高温は、どのように説明されるかという点である。直ちに考えつく理由として、温室効果(Greenhouseeffect)がある。すなわち、 CO_2 と H_2O が温室のガラス、地表が温室の室内に対応し、ガラスが短波長エネルギーを透過し、逆に室内からの赤外放射を食い止めるというわけである。気体の吸収スペクトルは帯が連なつて構成されているが、帯と帯の間を窓(Window)と称し、それが温室効果において赤外線の透過域になつている。ところが、帯の巾は圧力が高くなると拡がり(Pressure broadening)、ある程度以上の圧力では、窓が閉ざされてしまう。Plass と Stull(1963)は、このような効果を考え、金星大気の放射平衡について論じた。それによると、 CO_2 大気の場合、地表温度BOO °K を得るためには、地表圧力としてBOO 気圧を必要とするという。

とのことから、金星の地表圧力は100気圧のオーダーではないかという考えが生じた。もつとも、この場合、赤外線に対しては不透明(opaque) になつてよいが、マイクロ波に対しては透明でなければならない。また、そのような温度の減率が対流の臨界値を超えるかどうかの吟味も必要である。

一方, Öpik (1961)は別の仮説を提出した。すなわち、金星の密雲の中で、地表近くではMgとCaの珪酸化物と炭化物からなる塵埃が舞つており、埃の混つた風が地表面と摩擦して、摩擦熱を放出するというのである。しかし、その風がどのようにして生ずるかは説明してない。もしことで附加すると、次のようになる。金星の一面は常に太陽に対しており、したがつて常に加熱され、他の面は太陽が照らさない。そのため、明るい面から暗い面に向つて激しい流れが生ずる。その循環については、Dollfus の図と Mintz(1961)の説明がある。その循環に伴つて、摩擦熱が発生するとする。とはいつても、それを量的に明確にする必要があり、しかも、摩擦熱に熱源を求めるのは、普通眉睡なことが多い。

更に別の説明として、600 °K が果して地表温度かどうかを疑い、これは金星の電離層から放射されたものではないかと見るむきもある。もし、そうだとすれば、その電子密度は地球の電離層の電子密度の1000 倍でなければならないという(Mayer 1961)。しかし、Mariner IIの観測では一応否定的である。また、もし電離層が存在するとすれば、金星面の中央部に比べて、層の厚くみえる縁の方が明るく光るはず(Limb darkening)である。ところが、同じく Mariner II の 1.9 cm マイクロ波観測では、縁が暗くみえたという(<math>Barathet al 1963)。

要するに、金星大気の対流圏は、全く神秘に閉ざされている。雲頂から上の温度については、Mintz (1961)と Rasool (1963)が放射平衡温度を計算した。第10図は Rasool の結果で、それによると無限遠で温度は197 °K (Mintz は160 °K) になり、中間止面は多分60Km近辺であろうという。一方、清水(1963)は、 $CO_2 + h\nu \rightarrow CO$ + O (1250< λ </br>



第10図 金星大気の温度分布(雲頂より上) (Rasool & Jastrow 1964から)

次に木星(Jupiter) であるが、この 惑星は地球から余りにも遠くにあり、しかも 金星と同じく厚い雲に掩われているため、そ の知識も断片的である。雲より上の木星大気 (Jovian atmosphere)の組成につ いて、スペクトル分析から判ることは、CH。 が150mーatm,NH。が7mーatm, (Kuiper 1952)で、雲頂圧力は3気 圧(Spinrad and Trafton 1963) ということである。したがつて、CH。と NH。は全体の1%で、残りの99%は他の 気体である。その気体は物質の宇宙平均比率

(Cosmic abundance ratio)から考えて、 H_2 、 H_2 と少しの N_0 であるという。 問題は H_2 であるが、スペクトル観測値の解釈に2通りがある。一つは Zabriskie (1960)の $H_2=5.5$ km—atm とするのと、他はFoltzと Rank (1963)の200 km —atm とするものである。

前者を採用すると、HとH_e の体積比は20:1(Urey 1959)となり、木星大気の組成として体積百分率で、H₂ = 60%、H_e = 36%、N_e = 3%、CH₄ と NH₃ は1%以下となる。また、後者の解釈をとると、HとH_e の比は0.03:1($^{\circ}$ pik 1962) となる。

別の観測事実として,木星の掩蔽の際に測つたスケール高度 $8 \, \mathrm{km}$ が知られており,また雲頂温度は $128\,^{\circ}\mathrm{K}$ (Murray と Wildy 1963)となつている。そこで,仮りに平均温度として $120\,^{\circ}\mathrm{K}$ をとると,平均分子量は4でなければならない。この分子量を得るには, He He の体積比を20:1としたのでは説明がつかない。 He の方がもつと多くてよいことになる。

さて、雲頂温度をみてわかるように、木星の雲はひじょうに低温である。そして、雲の上部は、 NH_3 の結晶から構成されている可能性が強い。この雲は時によつてさまざまな色に見え、黄・

^{*27)} Menzel, Coblentz と Lampland (1926)は8~14μの放射から雲 頂温度として、120~140 °K を得た。

^{*28)} しかし、Na がもつと多ければ、HとHe の比率が20:1としてよい。

赤また青色 に変る。このことから Urey (1959)は雲の他の構成物質をいろいろと推定している。よく知られているように、この雲の特徴は、赤道に平行に帯状の縞が幾つも走つていることである。この明暗の筋は、地球の雲の配列と同じく、対流のためであろうと考えられている。その上、高・低気圧を思わせる明暗の模様もみられる。つまり明るい部分が上昇流域、暗い部分が下降流域である。木星の雲の面で最も顕著なことは、大きな赤斑(Red spot)があることで、これは300年昔に木星観測を始めて以来、存在し続けているという。これは木星の山の影響があらわれているものと考えられている。

地表温度に関連して、Mayer (1958, 1961)等のメーザー電波計(Maser radiometer)による観測がある。観測波長は $3.15\,cm$ から $6.8\,cm$ にわたつているが、驚くべきことは、 $3\,cm$ 波での温度は $15.0\,^{\circ}$ K, $10\,cm$ 波で $6.40\,^{\circ}$ K, $21\,cm$ で $3.000\,^{\circ}$ K, $6.8\,cm$ で $50.000\,^{\circ}$ Kとなつている。つまり、観測波長が長くなると、それに対応する黒体温度が幾らでも上るわけである。しかも、ある一定の波長で観測して、ある年の温度の観測値と次の年のそれとは等しくない。

そのようなわけで、木星の場合、電波観測の温度は地表温度とは考えられない。Drake (1959)は、この電波は木星の磁場に捉えられた粒子が放射するものではないか、という考えを提出した。

要するに、木星の雲の中は全く判つていない。雲頂より上の温度分布については、Grossと Rasool (1964)が放射平衡の温度曲線を計算している。それによると、Vibratーional relaxation の高度は、雲頂より上に200kmの高度であろうという。

^{*29)} サイクロトロン・シンクロトロン放射(Radhakrishnan, V, and J. A. Roberts, 1960:Phys. Rev. Let. 4 493 参照)

4 章の参考文献

綜合報告

Chamberlain, J.W., 1962: Upper atmospheres ullet the planets.

Astrophys. J. 136 582-593

Dollfus, A., 1961: Polarization studies of planets.

Planets and satellites (G.P. Kuiper and B.M. middlehurst, eds), Univ. of Chicago Press, Chicago 343-399

Eritz, S., 1951: Solar radiant energy and its modification by the earth and its atmosphere.

Compendium of metecrology, Amer. Meteor. Soc., Boston 13-33

Goldberg, L., 1954: The absorption spectrum of the atmosphere.

The earth as a planet (G.P. Kuiper, ed.)

484-490

Goody, R.M., 1964: Atmospheric radiation, I.
Theoretical base.

Oxford Monograph on Meteorology, Oxford at Clarendon Press, 486 p.

Hess, S.L., 1950: Some aspects of the meteorology of mars.

J. Meteor. 7 1-13

Kondratiev, K.Y., 1954: Radiation exchange in the atmosphere.

、Hydrometeo rological Publishers, Leningrad (英語訳が出たという1964年 - 実際には見ていない)

Mayer, C.H., 1961: Radio emission of the moon and planets.

Planets and satellites (G.P.Kuiper and B.M. Middlehurst, eds.) Univ. of Chicago Press, 442-472

宮本正太郎、1962: 惑星大気の気象学。

気研ノート 13 1-18

Öpik, E.J. 1961: The aeolosphere and atmosphere of

J. geophys. Res. 66 2807-2819

Pettit, E., 1961: Planetary temperature measurements.

Planets and satellites (G.P. Kuiper and B.M.

Middlehurst, eds) Univ. of Chicago Press,

400-428

Rasool, S.I. and R. Jastrow, 1964: The atmospheres of Mars, Venus and Jupiter.

Life sciences and space research I,

Proceedings of a session of the fourth international space science symposium, Warsaw, June 1963 (M.Florkin and A. Dollfus, eds.) North-Holland Publ, Co., Amsterdam

Sagan, C., 1962: Structure of the lower atmosphere of Venus.

Icarus 1 151-169

清水幹夫・畑中武夫, 1963: 惑星の大気 - 金星・火星を中心に,

科学 岩波書店 33 238-242

Urey, H.C., 1959: The atmospheres of the planets.

Handbuch der Physik Springer, Berlin

52 363-418

山本義一。 1954: 大気輻射学

岩波書店 174p

山本義一, 1956: 気象輻射学

地人書館

山本義一、 1964: 大気ふく射

空気調和·衛生工学 38 229-247

研究論文

Bates, D.R., 1951: The temperature of the upper atmosphere.

Proc, Phys, Soc, 64 805-821

Bates, D.R., 1956: The thermosphere.

Proc, Roy, Soc, A 236 206-211

Barath, F.T., A.H. Barrett, J. Copeland, D.E. Jones and A.E. Lilley, 1963: Microwave radiometer

Science 139 908-909

Brouwer, D. and G.M. Clemence, 1961: Orbits and masses of planets and satellites.

Planets and satellites (G.P. Kuiper and B.M. Middlehurst, eds) Univ. of Chicago Press 31-94 Cameron, A.G.W., 1963: The origin of the atmospheres of Venus and the Earth.

Icarus 2 249-257

Chamberlain, J.W. and G.P. Kuiper, 1956: Rotational temperature and phase variation of the carbon dioxide bands of Venus.

Astrophys. J. 124 399-405

Chase, S.C., L.D. Kaplan and G. Neugebauer, 1963: Infrared radiometer.

Science 139 907-908

Curtis, A.R. and R.M. Goody, 1956: Thermal radiation in the upper atmosphere.

Proc. Roy. Soc. A 236 193-206

Dollfus, A. 1951: La polarization de la lumière renuoyée par les differentes regions de la surface de la planète Mars at son interprétation Compt. rend. 283 467-469

Dollfus, A., 1963: Mesure de la quantité de vapeur d'eau contenue dans l'atmosphère de la Planète Mars.

Compt. rendu. 256 3009-3011

Danjion, D.L., 1961: Photometry and colorimetry of planets and satellites.

Planets and satellites (G.P. Kuiper and B.M. Middlehurst, eds.) Univ. of Chicago Press, 272-342

Emden, R., 1913: Uber Strahlungs gleichgewicht und atmospharische Strahlung. Ein Beitrag zur Theorie der oberen Inversion.

Sitzb. d. Bayer. Akad. d. Wiss. Math-phys. Klasse 55-142

Gold, E., 1909: The isothermal layer of the atmosphere and atmospheric radiation.

Proc. Roy. Soc. London A 82 48-70

Goldsmith, R.M. and R.L. Carpenter, 1963: Rotation of Venus: Period estimated from radar measurements.

Science 139 910-911

Goody, R.M., 1949: The thermal equilibrium at the tropopause and the temperature of the lower str stratosphere.

Proc. Roy. Soc. A 197 487-505 Goody, R.M., 1957: The atmosphere of Mars.

Weather 12 3-15

Gowan, E.H., 1928: The effect of ozone on the temperature of the upper atmosphere.

Proc. Roy. Soc. London A 120 655-669 Gowan, E.H., 1947: Ozonosphere temperature under radiative equilibrium.

Proc. Roy. Soc. A 190 219-225

Gross, S.H. and S.I. Rascol, 1964: The upper atmosphere
of Jupiter.

Icarus 3 311-322

Harris, D.L., 1961: Photometry and colorimetry of planets and satellites.

Planets and satellites (G.P. Kuiper and B.M. Middlehurst, eds.) Univ. of Chicago Press 272-342

Humphreys, W.J., 1909: Vertical temperature—gradients of the atmosphere, especially, in the region of the upper inversion.

Astrophys. J. 29 14-32

Hunt, D.C. and T.E. Van Zandt, 1961: Photoionization heating in the F region of the atmosphere.

J. geophys. Res. 66 1673-1682

Ishikawa, G., 1959: Solar corpuscular radiation as a heat source of the upper atmosphere.

Papers Meteor, Geosplys., Inst. Meteor. Tokyo
10 93-123

Johnson, F.S., 1958: Temperatures in the high atmosphere.

Ann. geophys. 14 94-108

Johnson, F.S., 1960: Pressure and temperature equalization at $200\,\mathrm{km}$ altitude.

J. geophys. Res. 65 2227-2232

Kaplan, L.D., 1961: a new interpretation of the structure and CO2 content of the Venus atmosphere.

Planet. space Sci. 8 23-29

Karandikar, R.V., 1946: Radiation balance of the lower stratosphere, I.

Proc. Ind. Acad. Sci. 23 70-96

Kellogg, W.W., 1961: Chemical heating above the polar mesopause in winter.

J. Meteor. 18 373-381

Kuiper, G.P., 1948: Survey of planetary atmospheres

the atmospheres of the earth and planets (G.P.Kuiper,
ed.) Univ. of Chicago press, 304-345

Kuiper, G.P., 1957:

The threshold of space (M. Zelikoff,ed)
Pergamon Press, London p.78

Maeda, K., 1962: On the heating of polar night mesosphere, Part I.

Meteor, Abhandl., Inst. Meteor. Geophys. d.

Freien Uuiv. d. Berlin 36 451-496

Manabe, S. and F. Möller, 1961: On the radiative equilibrium and heat balance of the atmmsphere.

Mon. Wea. Rev. 89 503-532

Mayer, C.H., 1959: Planetary radiation at centimeter wave lengths.

Astronom. J. 64 43-45

Mayer, C.H., 1961: Radio emission of the moon and planets.

Planets and satellites. (G.P. Kuiper and B.M. Middlehurst, eds.) Univ. of Chicago Press, 442-472

Mayer, C.H., T.P. Mc Cullough and R.M. Sloanaker, 1958: Observations of Venus at 3.15-cm wave length.

Astrophys. J. 127 1-10

Mayer, C.H., T.P. Mc Cullough and R.M. Sloanaker, 1958: Observations of Mars and Jupiter at a wave length of 3.15-cm.

Astrophys. J. 127 11-16

Mintz, Y., 1961: Temperature and circulation of the Venus atmosphere.

Planet. space Sci. 5 141-152

Mueller, R.F., 1964: A chemical model for the lower atmosphere of Venus.

<u>Icarus</u> <u>3</u> 285-298

Murray, B.C. and R.L. Wildy, 1963: Stellar and planetary observations at $10\ \text{microus}$.

Astrophys. J. 137 692-693

Nicolet, M., 1961: Structure of the thermosphere.

Planet. space Sci. 5 1-32

Ohring, G., 1963: A theoretical estimate of the average vertical distribution of temperature in the Martian atmosphere.

Icarus 1 328-333

Opik, E.J., 1962: Jupiter: chemical composition, structure, and origin of a giant planet.

Icarus 1 200-257

Plass, G.N. and V.R. Stull, 1963: Carbon dioxide absorption for path lengths applicable to the atmosphere of Venus.

J. gesphys. Res. 68 1355-1363

Shimizu, M., 1963: Vertical distribution of neutral gases on Venus.

Planet.space Sci. 11 269-273

Sinton, W.M. and J. Strong, 1960: Radiometric observations of Venus.

Astrophys. J. 131 470-490

Spinrad, H., 1962: Spectroscopic temperature and pressure measurements in the Venus atmosphere.

Publ. astron. Soc. Pacific 74 187-201

Spinrad, H., 1962: A search for water vapor and trace constituents in the Venus atmosphere.

Icarus 1 266-270

Sinton, W.M. and J. Strong, 1960: Radiometric observations of Mars.

Astrophys. J. 131 459-469

Spitzer, L.Jr., 1949:

Atmosphere of the earth and planets. (G.P. Kuiper, ed.) Univ. of Chicago Press 213

Vaucouleurs, G. de, and D.H. Menzel, 1960: Results of the occultation of regulus by Venus, July 7, 1959.

Nature 188 28-33

この篇のあとがき

との篇では大気の一次元の構造について論じたわけである。とれからは二次元あるいは三次元の問題に移つてゆく。大体の予定 は次の通りである。

第2篇

- 5. 温度・風の緯度分布
- 6. 平衡温度と冷熱源の分布
- 7. 循環
- 8. エネルギー輸送

第3篇

- 9. 季節変動
- 10. 風の2年振動
- 11. 突然昇温
- 12. 成層圏と対流圏
- 13. 力学的考察

この篇を書くに当つて、次の諸氏から討論および原稿の検討を 賜つたことを感謝する。

東京大学地球物理学教室・松野太郎、小野晁の両氏

天文学教室・高瀬文志郎助教授 および

気象庁高層課・関口理郎氏, 有住直介課長。

南北両半球の気象 (1)

南半球の熱帯低気圧について

田辺三郎

1 はじめに

南半球の熱帯低気圧は、我々にとつて次の二つの面から重要なものと思われる。第1は近年南極捕鯨を始めとして、一般漁船の南半球への出漁が次第に増加してきており、このためオーストラリア周辺でサイクロンのために遭難するものとが時々あつて、これの対策を一歩前進させることが必要になつてきたことである。1959年3月18日オーストラリア西方海上で室戸岬のまぐろ延縄漁船第5共和丸(159トン)が熱帯低気圧のため遭難して、当時遠洋漁業会にかなりのショツクを与えており、1964年になつて3月27日に、三重県浜島町所属遠洋かつを・まぐろ漁船第3幸喜丸(180トン)が印度洋において延縄操業中、オーストラリア北西岸沖において、中心気圧945mb以下、風力10以上の、南半球の熱帯低気圧としては最大級のサイクロンに遭遇して、最後の無線連絡を残して、船長以下23名が遭難するという悲惨事があつた。これは海上警報の利用の問題・南半球の熱帯低気圧の特性・観測ネットなど検討すべき点が多いように思われるが、可能な限り、これらに対処する方策を前進させなければならないと思う。

第 2 は、次にのべるように、北半球の熱帯低気圧との比較の問題であり、発生数や活動状況またその変動など、これらは南半球自体の大循環との関係において今後の大きな問題と思われる。 ここではそれらの一端となると思われる事項について述べたい。

2 世界の熱帯低気圧の発生数について

世界における熱帯低気圧の発生数は資料によつてはその数が大分異つているが、大体日本の台。 風のオーダーのものとしては、年間の発生数60コと見て、大きな違いはないものと考えられる。 この状況は次の表の示すとおりである。

世界の熱帯低気圧	発牛数
EDITO ANTO EN XVIII	70 7 7 7

地域 月	1月	2月	3月	4月	5月	6月	7月	8月.	9月	10月	11月	12	年	統計年数
台 風	0.3	0.3	0.4	0.7	0.8	1.6	3. 5	6. 2	4. 5	4 . 0	2.8	1.7	26.8	1947~56
ハリケーン(大西洋)		•	•		0.3	0.3	0. 4	2. 0	3. 9	2. 3	•	0.1	9.3	1950-56
北太平洋東部				•	0.1	0.8	0.7	1. 0	1.9	1.0	0.1	0. 0	5.6	1910~40
サイクロン(印度)	0.1		0. 2	0.4	0.7	0.8	0. 5	0.3	0.5	1.1	1. 2	0.5	6.2	1923- 38
オーストラリア周辺	1.4	1.4	1.5	0.4	•	•		•	•	•	•	0.5	5.2	38年
南インド洋	1.3	1. 7	1.2	0. 6	0.2	•	•	•	•	0.1	0. 3	0.8	6.2	$1886 \widetilde{1917}$

注1. 強さは大体台風(Tropical storm以上)

注2 資料の出所

- a)台風,台風経路図(気象庁)
- b) 大西洋のハリケーン、Monthly Weathen Reuiew
- c)北太平洋東部. Pilot chart of North Pacific Ocean
- d)印度のサイクロン,インド近海のサイクロン、金沢芳宏編、東京管区気象台
- e) x-x > 5 y 7, A. T. Brunt and J. Hogan; The Occurrence of tropical Cyclons in the Australian Region. Proceedings of the tropical cyclone symposium, Brisbane, Dec. 1956

New Zealand の Gabites キニューカレドニアのGiovannelli らは、さらに南半球の150mから東の南太平洋の熱帯低気圧について述べているが、これらのものと、表に示したオーストラリア周辺の熱帯低気圧のうち、Bruntの示すeast coast cyclone とは重複しているものと見られるので、全体の発生数はさらに2コ程度増加するとしても、大きな変動はないと見て良い。さらにまたこれらの熱帯低気圧の発生数のうち、台風やハリケーンは戦後は飛行機観測によつて殆んど捕えられているが、その他の地域の熱帯低気圧、とくに南半球の熱帯低気圧は広い海岸の、観測ネットの悪い地域にあるため、いくらか実数は多いかも知れないが、大勢には変化ないものとみられる。

さて表に示した世界の熱帯低気圧の一年間の発生数のやく80%近い50コが北半球において発生していることは驚くべきことである。また世界全体について見ると、台風はやく80コ近い半分を占めているわけで、日本を含めた極東がいかに台風の脅威にさらされ、また一方では雨などの台風のもたらす恩恵に浴しているかということもわかると思う。

さて台風やハリケーンなど、北半球の熱帯低気圧の発生の多いのは、どういう理由によるものであろうか? これについては台風やハリケーンの発生数と北半球循環との間には共通な相関関係があつて、例えば6~9月の夏の台風の発生について考案すると、3)

- a) 台風発生の多い夏は、北太平洋の高層の亜熱帯高気圧が強くて北偏し、しかも太平洋 地域の高気圧が2分して西部と東部で強くなり、170°wの子午線に沿つて南北の気圧 の谷を作る傾向にある。
- b) 台風発生の少ない夏は、中緯度偏西風帯の南下が起つており、しかも太平洋の西部と 東部における偏西風帯の南下が強い。

ということが分つているが、Ballemzweig⁴⁾はハリケーンについてほぶ同様のことを言つている。

台風については、更に夏の間の発生数のみならず、秋から初冬にかけてもかなり発生するので、簡単にすべてを通じて一義的に北半球の大循環と発生数との関係を論ずるわけには行かな

いが、夏の台風やハリケーンの発生が、高層の亜熱帯高気圧が北上しているとき、すなわち南北循環の傾向の強い時多いということは共通した現象である。

ところで南北両半球の大循環を比較すると、前回において Lamb の所説を述べたとおり、南半球では東西循環が強く、北半球では、より南北循環の傾向であつて、これらの大きな対比が、南北両半球における熱帯低気圧発生の著しい対比の原因と見られる。200 mb における南北両半球の夏の平均の東西循環の分布⁵⁾を見ると、偏西風の最大領域は南半球では30°s であつて27 m/s 程度を示しているのに対して、北半球では40°N にあつて16 m/s 程度の示しており、南半球では偏西風帯がずつと低緯度に寄つひることを示して上の所説を示しているものである。

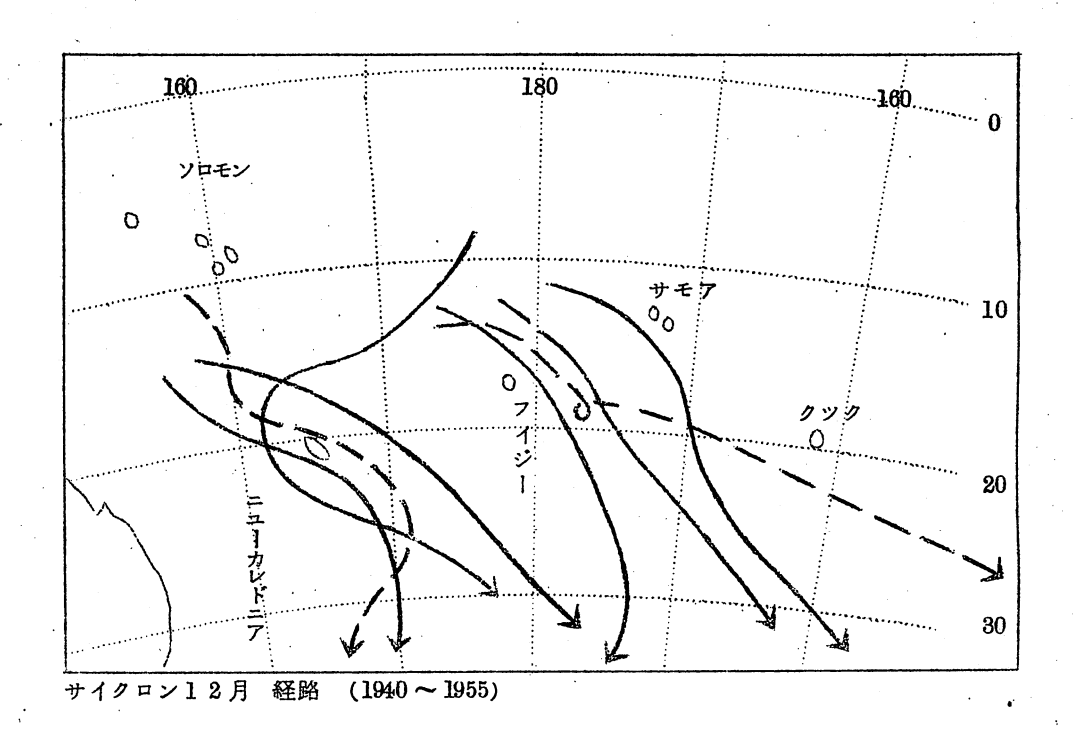
以上は一般的な対比であるが、南半球における熱帯低気圧の発生には年々かなりの変動がある。例えばNewman[®])らによると、1955~1956年のシーズンにはオーストラリア周辺ではTS以上が16コ発生しており、これは最も多く、このうち New Caledouia 付近では4コのサイクロンが発生していて、例年の1コに比べて非常に活発だつたわけである。このことはGiovannelli も指摘しており、また経路図を見ると1955~1956年のサイクロンは殆んどのものが南進しており、また西進のものもあつて、次に述べるような最初から東南東進するものが少ない。これは明らかに南半球のこの地域の大循環が南北循環の傾向の強かつた時と見られ、このことは北半球における多発生時のことと同様に考えられる。たゞ目下のところ南半球の高層の平均の資料がないのでこれを十分に立証するわけにはゆかない。

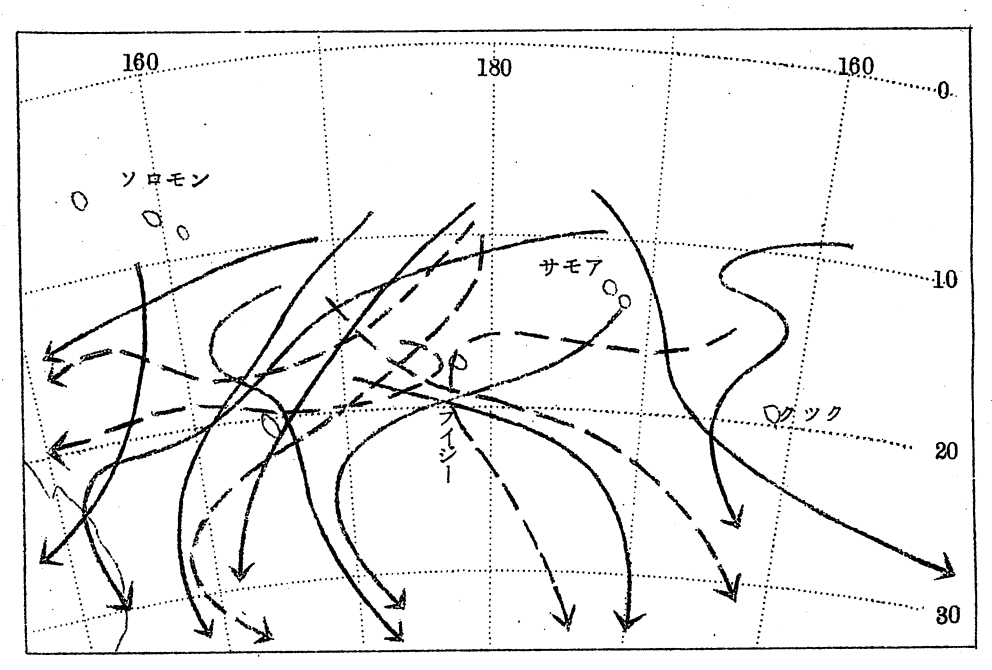
またこの外 Duverge³) によると1948~1949年のシーズンにはマダガスカル付近では5コの Cy cloneが発生して非常に多く、これは1933~1934年のシーズンの6コに次ぐものであるとしている。ここで興味深いことは1934、1949および1956年の各年初の南半球の熱帯低気圧の発生が多くなつており、また Giovannelli の資料によると1959年始のニューカレンドニア付近の cyclone は4コあつてこれも多い。そしてこれらの年の前年である。1933・1948・1955および1958年の北半球の夏は暑くて台風活動の活発であつた時である。とうも簡単に書きすぎたか、グロースペッターには問題を提起しても良いと考えるので、このような南北両半球の熱帯低気圧の活動には関係がある場合が多いように考えられ、また大循環の関連から時には当然そうあつてもよいと考えられるので個検討を願いたいと思つている。

3. 南半球の熱帯低気圧の特徴

a) 経路

Ga bi tes¹の示した南太平洋の熱帯低気圧の12月と2月の経路を示すと図のようになる。 これは風力9またはそれ以上になつたものを集めたのであつて、経路はかなり変化と不規則性があるが、何よりも著しい特徴は発生数の半分が最初から東進していることである。北半球の台風経路を見ると、1~3月頃バシー海峡やルソンの東で発生するものは始めから北東進するが、そ





サイクロン 2月 経路 (1940~1955)

のほかでは大体はまづ最初は西進しており、この点から見ても南半球の熱帯低気圧は著しい特徴を持つているわけである。また細かく見ると月によつては多少異なり、2月はすが最初から東進しているが、他の月では東進するものの方が多い、すなわちサイクロンの活動から見て2月が最も夏らしいシーズンと見て良いわけである。またオーストラリアでは east coast cyclone と west coast cyclone に分けていて、この地域では経路は大陸の影響を受けて多少異つているが、北半球の台風の経路に比べて非常な差のあることははつきりしている。要するに南半球の熱帯低気圧は西進の度合いが非常に小さく、これは南半球の偏西風帯が低緯度にまで及んでいるためであつて、このことは最初に示した船舶の遭難などに関係して警戒上の重要な点と考えられる。

b) 中心気圧

一般には南半球の熱帯低気圧は台風やハリケーンに比べて捜いようである。もつとも台風やハリケーンは飛行機観測によつて余すところなく観測されるから同一の基準では考えられないが、次にのべるような資料から見ると、室戸台風や伊勢湾台風のような低い気圧は報告されていない。Newman の報告によると、1955~1956年のシーズンはTS以上が16コも発生して異常な年であつたわけであるが、その中で2月23日~3月11日にかけてフィーシーからクインスランドに西進したサイクロンは上陸時に961mbの中心気圧を示してシーズン中の最低であつたと報じている。またこのサイクロンは近年 Queenslandに達した最も8evereなサイクロンであると報じているところから見て、この辺が最も強いところと考えられる。また印度洋においては1959年3月24日 Madagascar 島の北東方 Tromlin島において強いサイクロンの中心気圧949.6mbを観測したと報じている。。

4. 第3幸喜丸の遭難について

参考のためにここに報告したい。

三重県志摩郡浜島町遠洋かつを・まぐろ漁船第3 幸喜丸(179トン)は昭和89年2月10日浜島を出発、印度洋においてまぐろ延縄操業中、8月27日オーストラリア北西岸沖において中心気圧945mb以下、風力10以上の優勢なサイクロンに遭遇し、懸命に支えたるも、同日22時48分『その後も波もらい傾斜はげしく転覆寸前となり、懸命に排水中、無線室に水入つてきた』との無線連絡を最後に消息を絶つた。以後4月2日に至るまで付近操業中のまぐろ漁船9隻、オーストラリア飛行機による捜索を行なりも全く手掛りなく、同日捜索を打切り、船長以下23名が遭難した。以下は鳥羽海上保安部浜島分室の資料と昭和39年11月銚子において行なわれた、関東東海漁業気象連絡会大会において、浜島漁業海岸局菅原隼男氏の講演による遭難の概要である。サイクロンの発生は3月24日報じられ、25日には南線13度東経125度付

近のチモール海南部にあつてパースの警報は西進を報じており、このため第8幸喜丸はこの頃南緯20度、東経112度付近のオーストラリア西端北西岬沖にあつて北東に進路をとつていた。サイクロンはその後進路を西南西に転じ、28日以後は南に変えており、結局第3幸喜丸はサイクロンに近づいて行つたことになり、27日になつて急激に荒天域に突入し、14時14分SOSを発信するに至つた。

その後懸命の処置をとつた模様が無電によつて報じられており、18時00分には『こちら風も凪いで、今気圧945、風南南東9、小雨、今凪いで中心ではないかと思う。支え中』と報じており、21時58分には、風最高潮と思われ北東10以上懸命に支え中としてあり、この頃中心域に突入して遭難したものと考えられる。

当時第3幸喜丸とほぶ同じような針路をとつた第2千秋丸(220トン)は27日5時57分には南南西風力10以上、気圧953mbを観測し、緊急信号を発信するに至つたが、その後懸命の漂泊ののも漸く遭難を免れたと報じている。

また第7日光丸(320トン)もほぶ同じ針路をとり、3月27日12時00分には推測位置 南緯18度10分、東経114度00分において避航困難となり、28日には風50m/sと推 定され、13時00分中心付近と思われ急に風弱まり晴れ、薄日さす天気となると報じているが 一時危険状態となりのち無事脱出に成功していて、中心付近では気圧950mbを観測している。 以上が要約であるが、第3幸喜丸の気圧の観測は945mbを報じていて、中心気圧はさらに 深いものと見られ、この Cyclone は南半球の熱帯低気圧としては最も烈しいものと見て良 いと思う。

第3幸喜丸は不幸にしてこの最も烈しいサイクロンに遭遇したわけで、このサイクロンについてパースの警報は3月27日には990mbを報じているし、また気象庁に送られてきているメルボルン気象台の天気図(速報天気図のようなもの、大体土曜日および日曜日は印刷されていない)を見ると、3月28日(土)はオーストラリア北西海上に1004mbの低気圧が、解析されているだけであつて、これは台風のように飛行機観測の行なわれない、しかも十分な観測網のない南半球の洋上の熱帯低気圧であるだけに、台風ほどの警戒の行なわれないうらみのあることに対しては今後別途の考慮が必要と考えられる。

文 献

- 1) J. F. Gabites (1956): A Survey of tropical Cyclones in the South Pacific, Proceedings of the Tropical Cyclone Symposium, Brisbaue, Dec. 1956
- 2) J. L. Giovannelli (1963): Trajectoires des Cyclones Tropicaux daus le Pacific Sud-Ouest, Proceedings of the Inter-Regional Seminar of tropical Cyclones in

Tokyo, 18~31 Jan. 1962

- 8) 田辺三郎(1959): 台風の発生数と北半球循環との関係、研究時報11.561~566
- 4) E. M. Ballenzweig (1956): Seasonal Variations in the Frequency of North Atlantic tropical Cyclones related to the General Circulation, 資料2) による。
- 5) 荒川昭夫 (1958) :最近の大気大循環論, 気象研究ノート9巻. 229~862
- 6) B. W. Newman , A. R. Martin and W. R. Wilkie (1956):
 Occurrence of tropical Depressions and Cyclones in the
 Australian Region during Sammer of 1955~1956, 資料2) による。
- 7) P. Duverge(1951): Les Cyclones de la saison 1948~1949 a' Madagascar Memorial de la Météorologie Nationale No. 36. 1956
- 8) A. Chaussard et L. Laplace (1959): Les Perturbations dans le Sud-Ouest de I'Ocean Indien, Saison chaud 1958 ~1959, La Metéorologie No 56, Oct. ~ Dec. 1959
- 9) 鳥羽海上保安部浜島分室(1964) : 第3幸喜丸遭難に関する資料,昭和39年5月・

季節予報の利用と発達

鯉 沼 寛 一

1. はじめに

私達の生活活動においては、あらゆる面において将来を予測し、見込を立てて行動するのであるが、その見込は必ずしも正しいとは限らない。そして、正しい見込が立たないままに、占いた頼つたりする人もあるわけである。

ところで、日々の気象の変化は私達の生活や産業、運輸など各方面に大きな影響を与えるばかりでなく、時には大災害などを引起し、人命。財産に大損害を与える。したがつて、日々の天気や季節の変化をあらかじめ知りたいという希望は今に始まつたことではなく、人間生活が始まつて以来のことであろう。そして、天気予報は占いから始まり、顕天望気の時代を経て、今日のように気象観測にもとづく天気図による天気予報の時代にまで発展した。一方、季節の予想についても矢張り占いから出発し、暦によつて季節の推移を知る時代を経て、現代では気象観測資料を統計し、解析して行う所まで発展したのである。

ところで、天気予報にしても季節の予想にしても、どちらも最初は占いから始まつたということは、必要性の方が技術に先行したからであつて、技術の向上の方がいつもあとから追いかけていることになる。そして、毎日の天気予報に関しては、今日すでに可成りの発展を見たのであるが、季節の予想を中心とした長期の予報に関しては、まだまだ不充分の精度であり、社会の要望に鞭打たれながら徐々に進歩している段階だといえよう。

それなら、長期予報はどの方面で要望されて今日に到つたのであろうか。また、現在では長期 予報を利用しようというのは、どういう人達なのであろうか。

2. 農業と季節の予報

農業における種蒔きや取入れは、すべて季節に支配される。また、一旦種を蒔けば気温、日照、雨量が適当でなければ充分の収穫が得られないので、その間の季節の推移を知りたいのは当然であろう。つまり、季節を予想することを最初に望んだのは農民だつたのであろう。

けれども、古い時代に季節の予想がうまくできる筈はない。しかし、どうしても予想が必要だとすると、頼るのは占い以外にはない。そのうちに、天体の運行の週期が季節と関係することを知り、一応の季節の推移を知るには暦を利用するようになつた。中国や日本の暦に24節気というようなものをのせるのは、それが太陰暦であるために月と季節の対応が不充分だつたからに外

ならない。

けれども、年々の季節の移り変りには遅速もあれば、変化の大小もあつて必ずしも同じではないが、層によつて知ることのできるのは平均的の推移であつて、実際の季節の変化ではない。したがつて、層の上で同じ日に種蒔きをしても、豊作の年もあれば凶作の年もある。江戸時代に入って北日本の開発が進むと、同地方はしばしば大凶作による飢饉に見舞われるようになつた。

季節予想の始まり

気象観測をもとにした天気図を用いて天気予報が行われるようになると、いままで不明だつた 気象現象も 次第に解明され、その結果として天気予報が更に進歩し始めたが、それは日本においても同じだつた。天気予報がこういう段階になつた時、明治末期には季節の異常によつて凶作が相次いで起つた。そこで、こういう季節の異常の理由を明らかにし、更に、こういう異常を予想しようという試み — 主として相関係数を用いた — が現われたのだつた。しかし、大正2年の、大凶作以後は比較的順調な年がつづいたので、面倒な季節予報を試みようという人は殆んどなくなつてしまつた。

その頃、北海道では第一期拓植計画が終り、昭和に入ると第二期拓植計画が着手されたが、その中心は畑地を水田化することによつて人口を倍加しようということだつた。その計画は順調に進んだように見えたが、昭和6年に見舞つて来た季節の異常による大凶作につづいて、その後もしばしば凶作がつづき、米作を中心とする拓植計画には疑問が生じたのだつた。そして、北海道に見切りをつけた多くの人々は、当時の政策に従つて満洲に進出していつた。

けれども、大凶作がしばしばおこれば食糧の自給にも心配があり、国防にも影響するというので、その対策には政府も本腰を入れねばならなかつた。その一つは農林省によつて推進されたもので、耐寒性の強い稲の品種を作り出すことで、もう一つは季節の異常を予想する方法を確立することだつた。

組織化された季節予報業務

昭和6年の大凶作,7年の大不作に次いで,昭和9年にも大凶作に見舞われると,当時の中央 気象台では季節予報を確立するための計画の予算化を計ることになった。一方,はげしい凶作に 見舞われた東北地方では仙台地方気象台が中心となって,すでに蓄積されている気象資料にもと づく季節予報の研究が,熱心に推進され始めたのだった。

仙台における研究の詳細については消略するが、季節予報の研究は泥沼のようなもので、研究 段階ではかなり有力な方法のように見えても、実用に供して見るとどうもうまくない。こういう ことで、ほんとうの実用化はいつのことか予想もつかないのだつたが、それでも、数百年来凶作 になやまされた東北地方の農民は、気象台の研究の完成を辛棒強く待つていた。

その後、昭和20年2月には中央気象台に長期予報課がおかれ、中央でも季節予報その他長期の予報に本腰を入れることになつた。当時の日本はすでに敗戦の色濃くなつていたので、そうい 5時期になぜ長期予報課のようなものが設置されたのであろうか。しかし、その理由は免も角と して、その年の夏は日本の敗戦に加えて、北日本は冷夏に見舞われて大凶作となつてしまった。 こういう事態になつて見ると、長期予報課の設置は誠に時期を得た処置で、発表される季節予 報に対し社会は大きな期待をよせたと想像される。しかし、長期予報課ができたといつて直ちに 精度の高い季節予報が可能になる筈はない。そして、季節予報はしばしば社会の強い批判を受け ることになり、4年余をすぎた昭和24年10月には"季節予報はまだ実用段階でない"との 理由で、切角できた長期予報課は廃止されてしまった。

切角の長期予報課の廃止を当時の関係者の責任に帰するのは酷にすぎょう。というのは、政府 (気象合)の手で着手された長期予報が、中途にして中止された例は日本ばかりでなく、米国に も印度にもあつたようである。しかし、長期予報の必要性はその後も増すばかりて、昭和33年 には気象庁に長期予報管理官の制度がおかれることになった。

3. 水資源問題と長期予報

日本は雨量が多く、水の豊富な国だつた。それは、要するに豪雨が頻繁に訪れるからだが、そのために水害に見舞われることもしばしばあつた。けれども、雨量の多いのは年間を通じてではなく、時には長期に亘つて雨がないため旱魃になやまされることもなかつたわけではない。ところで、近年は都市の発展、工業の発達が著しく、水の使用量が激増し、豊富と思われた日本の水資源も不足を告げるようになつて来た。

こういうことから、雨に関する最期予報は、いまや各方面の要望する所となりつつあるが、この点をもう少し具体的に説明しよう。

流量調節による水害対策と雨量予報

明治年代は洪水が多かつたが、明治43年の利根川大氾らんを契期として日本の洪水対策も軌道に乗り、洪水は減じ始めた。しかし、昭和22年のカスリン台風による利根川大洪水がおこるに及んで、改修工事を行い堤防を完備するほど、河川の出水は早くて多量になるという、いわゆる鉄砲水の現象が明らかになつた。そうすると、大河川の氾らんは堤防の強化だけでは無理で、上流にダムを作つて巨大な流量を調節しなければならない。

すでに大正15年には、物部長穂博士は"河川水調節論"によつて河川流量の調節を論じたのであるが、その頃にはまだ、どうしても河川流量を調節しなければならないほどの必要はなかつた。その後、米国などでは河川流量の調節が行われていたので、カスリン台風による利根川の大氾らんがおこると、ダムによる流量調節問題は急にクローズアップして来た。一方、この頃は日本は敗戦後の国土再開発ということからも流量調節が論議の対象となり、米国のTVAのやり方を北上川に適用する計画も進められることになつた。けれども、それにはどうしても雨量の正確な予報を前提としなければならない。

もちろん、このような雨量予報は正確でありさえすればよいから、長期予報である必要はないように見える。

しかし、短期の雨量予報で一応の流量調節をしても、数日後とか数週間後については全くの、 "お先まつくら"というのでは困るのであつて、雨の一週間予報や半月予報はどうしてもほしい。 更に、昭和28年には筑後川にも鉄砲水の現象が起つて、完全に近いと思われた同川の堤防も寸 断され流量調節は急を要する問題となつて来た。

電力需給と雨量の長期予報

終戦直後には工場の潰滅で電力に余剰を生じたが、一方、物資は極度に不足し、燃料のような 必需品さえもどうしようもない。そのために、余剰電力はあげて家庭燃料と化し、電熱器を通じ ての電力需要は急速に高まったのだった。幸いその頃は雨も比較的多かったので、発電も順調だ ったらしいが、いろいろの生産工場が徐々に復興し始めると、家庭の需要の加わった電力の需要 量は急速にのび、次第に不足を告げるようになった。

このような事情を反映し、昭和26年頃にはたしか関西電力が人工降雨の実験を始め、その後電力各社ともこれに習うようになつた。これは言うまでもなく、雨量を増して発電用水を確保する目的からだつた。しかし、人工降雨により発電を増すことは望みうすで、結局、電力の不足は火力発電に頼る方向を取つたわけである。しかし、電力需要の多いのは京浜、京阪神地方であるのに、火力発電用石炭は九州や北海道に産するため、その輸送は厄介である。

との際、雨の長期予報が可能ならば、それによつて水の豊富な間は水力発電に重点をおくと共 に、水の不足する時期に合うように石炭の輸送を行えば、能率的な電力の供給ができる。したが つて、雨の長期予報は電力関係者から強く要認されていた。

ととろで、日本の発電事業は長いあいだ水力に重点をおき、火力は水が不足する時の調整用だったが、日本の復興につれて電力の需要は年々急増して止まる所がないので、根本対策の立て直しが必要である。一方、大発電機の製作が可能になると、需要地の近くに大火力発電所をもうける方がむしろ能率的にさえなつた。そのために、いままでの水主火従の方針は火主水従に切り換えられることになつたが、それにしても、需要電力の調整にはダムの水を利用して発電するのが便利である。しかし、水力発電には莫大な水を要するから、雨の長期予報の必要性は変らない。

水資源と雨の長期予報

日本は昔から水田農業を中心に発展して来たのは、雨量が多く、水資源が豊富だからだつた。 20世紀に入つてからは都市の発達、工業の発展によつて水道、発電、工業などに要する水資源 も遂年増加して来たが、戦前までは水資源の不足ということは、特に問題となるようなことはな かつた。

ところが、戦後何年かを経て日本の復興が緒について来ると、水資源の不足ということが急に 問題化して来た。これは、第一には日本の復興の方向が工業化であつて莫大な工業用水を必要と すること、第二には工業化は都市における人口の集中のため水道用水も莫大となつたこと、第三 には農業用水は余るほどあつても水利権の問題で他に利用できないこと、などのためだつた。

ところで、日本の水資源は雨量から推定すると年間に6000~1000億トンに達すると推

定されるのに、必要な量は1000億トンには達しないであろう。それにも拘らず水資源が不足するということは、第1には雨は全国的に降るのに水資源を必要とするのは大都市とその周辺であること、第2に雨量は季節的に大きく変動し、腰候期には洪水を無駄に流すのに、寒候期には足らなくなることのためである。この調節は、長大な用水路とか、巨大な貯水池などを作ることによつて、概念的には可能であるが、実際には殆んど不可能に近い。そうだとすると、この場合にも雨の長期予報は重要である。

例をあげて見よう。昭和33年は冬から春にかけ雨が少く,梅雨期にも雨は少い。そのために東京都の貯水池はかれ,給水制限は次第に強化されつつあつた。ところが7月中旬に関東中部を通過して行つた台風11号は相当の雨を降らし,中川の決壊による東京都内の被害を除いては,これなに喜ばれた台風は少い。ところが、9月には更に狩野川台風が莫大な雨量を降らし,完成したばかりの小河内ダムはこの時に満水となつた。つまり,この年は前半年には雨量が極度に少なかつたが、後半年には非常に多く,全般的には雨量の多目の年となつた。そこで、もし雨の長期予報がもつと確実なものなら、33年の初夏においても、間もなく降る雨をあてにして予定が立てられた筈だつた。

東京都の水道に関しては、近年、こういう例が非常に多くなつて居り、そのために、気象協会では小河内地区の1ヶ月先の雨量予想の依頼をうけている。けれども、渇水に困るのは何も水道だけではなく、工業用水、発電用水などいずれも同じである。

4. 商品経済と長期予報

人間の生活活動は気象条件と深く関係しているので、各種の商品に対する需要も気象条件に支配されて増減する。たとえば、寒い冬には毛糸製品が売れるし、暖冬ならば余り売れない。そして、こういう商品の需要を正しく見通して生産や仕入れを行い、無駄なストックを作らないようにするには、正確な長期予報を利用することであろう。このように売行きが気象で支配されるものは数え立てれば限りないが、そのいくつかを次に例示しよう。

(1) 温度の長期予報を利用すべきもの

せんい製品の需要は冬の気温で大きく上下するから、その生産、仕入れ、販売には温度の季節 予報を利用すべきであろう。また、夏の気温で氷の需要が変動し、暑い夏には製氷が間に合はないし、涼しければ倉庫はストックの山となるから、1ヶ月位の予報を利用して製氷が行なわれるのが望ましい。

(2) 雨の長期予報を利用すべきもの

レーンコートの売行きは梅雨期の天候で支配されるそうである。したがつて、その生産や仕入れには梅雨に関する季節予報を利用すべきであろう。デパートの売上げは晴雨によつて支配されるというから、売上げの見通しを立てたいなら雨に関する一ケ月予報の利用をすすめる。

(3) 雪の長期予報を利用すべきもの

かつて神戸のゴム会社が札幌の気象台に冬の雪についての見通しをきいて来たことがあつたが、 それはその年の冬の北海道におけるゴム長靴の需要を推定し、生産量を決定したいからだつた。 スキーの生産や販売についても、その冬における雪の多少に対する季節予報を参考として決める のが望ましいであろう。

(4) 商品取引と長期予報

アズキ、小手芒、大手芒などの雑穀類になると、その生産が天候に支配され、生産の変動につれて取引価格が大きく変動する。したがつて、季節予報を利用することによつて取引を有利にすることが可能である。

現在、米敷は統制されているが、かつて米敷取引における価格は大きく変動したものだつたが、 その頃は米敷取引に気象台の季節予報を利用した人はまだなかつた。

以上のべたように、商品経済における長期予報の果すべき役割は大きい筈であるが、残念なことには、現在における長期予報の精度においては、全面的に頼るわけには行かない。そうはいうものの、各種商品の生産における長期予報の利用は既に始まつている。その理由は多分"たとえ外れることはあつても、勘に頼るよりは長期予報に頼る方がはるかに合理的である"。ということが理解され始めたからであろう。

編集・あとがき

3月に入つてからもう半ばをすぎたというのに東京の降水量は1ミリ程度だという。(平年, 101ミリ)"東京サバク"という言葉があるが、梅雨の雨がどうなるかがこれからの問題だろう。

今年度(39年度)最後の号(3~4号)をおくる。今号から東京大学の都田さんから成層圏 循環に関する総合報告をしていただくことになつた。この雑誌ができ上る頃、都田さんは米国気 象局に出向されるが、かの地から続編についての労作を続けて頂けるので期待されたい。

なお田辺さんには南北半球についての第**五報を頂いた。長期予報が、一つは上層に、一つ**は空間的に南半球にまで関心がもたれる現在、本号がよき教師となり、よき刺激剤となるだろうと確信している。

また、鯉沼博士からは長期予報の利用面において、この方面の開発に尽力されている御経験から、われわれてもサゼツションに富む玉稿を頂いた。

御投稿の諸氏に誌上をかりて, 感謝の辞をのべる。

編 集 子